



PowerEn.ir

تحليل انرژيتيک و اگزرژيتيک

نيروگاه سيکل ترکيبي





POWEREN.IR

PowerEn.ir

فهرست مطالب

عنوان

صفحه

فصل اول : توصیف واحدها و ارائه اطلاعات طراحی تجهیزات

۸

۱-۱. شرح مختصری از نیروگاه ترکیبی مورد نظر

۸.....

۲-۱. واحد تولید بخار

.....

۹.....

۲-۲-۱. اکونومایزرها

.....

۱۰.....

۳-۲-۱. تبخیرکننده

ها.....

۱۰.....

۴-۲-۱. سوپرهیترها

.....

۱۰.....

۵-۲-۱. دی سوپرهیتر

.....

۱۰.....

۶-۲-۱. توربوژنراتورهای واحد

بخاری.....

۱۱.....

۷-۲-۱. ترانسفورماتور قدرت

.....

۱۱.....

۳-۱. سیکل حرارتی و سایر تجهیزات

.....

۱۱.....

۱-۳-۱. کندانسور

.....

۱۱.....

۲-۳-۱. سیستم خلأ

.....

۱۱.....

۳-۳-۱. پمپهای کندانس

.....

۱۲.....

۴-۳-۱. هوازدا

.....

۱۲.....

۵-۳-۱. پمپهای تغذیه

.....

۱۲.....

۶-۳-۱. سیکل آب خنککن

.....

(CCCW)

۱۲.....

۷-۳-۱. سیکل روغن

.....

۱۳.....

۴-۱. بخش گازی نیروگاه مورد

.....

نظر

۱۳.....

۵-۱. واحد تصفیه آب

.....

۱۵.....



۶-۱. لیست الکتروموتورهای بالای ۵/۷

..... کیلووات
۱۵...

فصل دوم : مبانی ارزیابی راندمان و آنالیز انرژی و انرژی سیکل و تجهیزات آن

..... ۱۶

۱-۲. مبانی بالانس جرم و انرژی

.....
..... ۱۶

۲-۲. مبانی بالانس انرژی

.....
..... ۱۷

۳-۲. انتقال انرژی

.....
..... ۱۸

۴-۲. بازده کلی سیکل

.....
..... ۱۹

۵-۲. آنالیز و تعیین بازده انرژی و انرژی تجهیزات و سیکل

..... نیروگاه
..... ۲۴

۱-۵-۲. بررسی عملکرد مرکز تولید بخار

.....
..... ۲۵

۲-۵-۲. بررسی عملکرد دیارپتور

.....
..... ۲۸

۳-۵-۲. بررسی عملکرد توربین بخار

.....
..... ۲۹



PowerEn.ir

۴-۵-۲. تحلیل عملکرد پمپ

۳۰.....

۵-۵-۲. بررسی عملکرد کمپرسور

..... هوا

۳۱.....

۶-۵-۲. تحلیل عملکرد توربین گازی

.....

۳۳.....

فصل سوم : ارزیابی راندمان و آنالیز انرژی و انرژی نیروگاه سیکل ترکیبی مورد بررسی در گزارش

۳۵.....

۱-۳. آنالیز انرژی و انرژی و تحلیل عملکرد توربین گازی

۳۵.....

۱-۱-۳. موازنه انرژی توربین گازی

.....

۳۵.....

۲-۱-۳. محاسبه راندمان آیزنتروپیک و آیزوترمال توربین گازی

۳۷.....

۳-۱-۳. آنالیز انرژی توربین

.....گازی

۳۸.....

۲-۳. آنالیز انرژی و انرژی و تحلیل عملکرد کمپرسور

۳۸..... هوا

۱-۲-۳. موازنه انرژی کمپرسور

..... هوا

۳۸.....

۲-۲-۳. محاسبه راندمان آیزنتروپیک و آیزوترمال کمپرسور

۴۰..... هوا

۳-۲-۳. محاسبه شدت مصرف انرژی کمپرسور هوا

..... ۴۱

۳-۲-۴. آنالیز انرژی کمپرسور هوا

..... ۴۱

۳-۳. آنالیز انرژی و انرژی نیروگاه گازی

..... ۴۲

۳-۳-۱. محاسبه راندمان و Heat Rate واحد گازی نیروگاه مورد

..... نظر ۴۲

۳-۳-۲. محاسبه راندمان انرژی واحد گازی نیروگاه

..... حاضر ۴۳

۳-۳-۳. موازنه انرژی واحد گازی نیروگاه مورد نظر (Sankey

.....(Diagram) ۴۳

۳-۳-۴. تحلیل ترمودینامیکی نیروگاه گازی

..... ۴۴

۳-۳-۵. موازنه انرژی واحد گازی نیروگاه مورد نظر (Grassmann Diagram)

..... ۴۶

۳-۴. آنالیز انرژی و انرژی و تحلیل عملکرد مرکز تولید

..... بخار ۴۸

۳-۴-۱. آنالیز انرژی و انرژی و تحلیل عملکرد

..... دیاریتور ۴۸

۳-۴-۲. آنالیز انرژی و انرژی و تحلیل عملکرد بویلر بازیافت حرارت و مبدلهای موجود در

..... آن ۵۰

۳-۴-۳. موازنه انرژی بویلر بازیافت حرارت و مبدلهای موجود در آن

..... ۵۰

۳-۴-۴. محاسبه راندمان بویلر

..... ۵۳

۳-۴-۵. بالانس انرژی بویلر بازیافت حرارت

..... ۵۳

۳-۴-۶. محاسبه راندمان انرژی بویلر بازیافت حرارت

..... ۵۵

۵۳-۵. آنالیز انرژی و انرژی و تحلیل عملکرد توربین بخار	۵۵
۳-۵-۱. موازنه انرژی توربین بخار	۵۵
۳-۵-۲. محاسبه راندمان ایزنتروپیک توربین بخار	۵۶
۳-۵-۳. محاسبه راندمان قانون دوم توربین بخار	۵۶
۳-۵-۴. موازنه انرژی توربین بخار	۵۷
۳-۶-۱. محاسبه Effectiveness (€) کندانسور	۵۷
۳-۷. آنالیز انرژی و انرژی و تحلیل عملکرد پمپ کندانس	۵۹
۳-۸. آنالیز انرژی و انرژی و تحلیل عملکرد پمپ آب تغذیه	۶۲
۳-۹. آنالیز انرژی و انرژی واحد بخار نیروگاه مورد نظر	۶۳

۱-۹-۳. موازنه انرژی واحد بخار نیروگاه

.....

۶۳ .

۲-۹-۳. موازنه انرژی واحد بخار نیروگاه مورد نظر

۶۶

۱۰-۳. محاسبه راندمان و HEAT RATE سیکل ترکیبی نیروگاه مورد نظر

۷۰.....

۱۱-۳. محاسبه راندمان انرژی سیکل ترکیبی نیروگاه مورد نظر

۷۱.....

۱۲-۳. خلاصه نتایج

.....

۷۲.....

فهرست جداول

عنوان

صفحه

جدول ۱-۳. شرایط ترمودینامیکی جریانهای ورودی و خروجی دیاریتور در بار پایه و دمای 31°C	۴۸
جدول ۲-۳. نتایج موازنه انرژی مبدلهای موجود در بویلر بازیافت حرارت در بار پایه	۵۰
جدول ۳-۳. اطلاعات ترمودینامیکی ورودی و خروجیهای بویلر بازیافت حرارت در شرایط تست کارایی و بار پایه	۵۴
جدول ۴-۳. اطلاعات مورد نیاز جهت تحلیل توبوژنراتورهای نیروگاه بخار در روزهای اندازه گیری	۵۵
جدول ۵-۳. اطلاعات ترمودینامیکی ورودی و خروجیهای ACC در شرایط تست کارایی بار پایه	۵۷
جدول ۶-۳. اطلاعات مورد نیاز جهت تحلیل کارایی پمپهای کندانس در شرایط طراحی و تست پایه	۶۰
جدول ۷-۳. مشخصات سیال ورودی و خروجی پمپ های کندانس در تست کارایی و بار پایه	۶۱
جدول ۸-۳. مشخصات پمپهای آب تغذیه در شرایط تست کارایی	۶۲
جدول ۹-۳. پتانسیل شیمیایی گازهای ورودی به بویلر بازیافت حرارت نیروگاه حاضر در شرایط تست کارایی	۶۶

جدول ۱۰-۳. اطلاعات مورد نیاز برای تعیین راندمان نیروگاه زمان تست کارایی
..... ۷۰ جدول ۱۱-۳. راندمان و HEAT RATE

واحدهای گازی و سیکل ترکیبی نیروگاه مورد نظر در شرایط تست کارایی نیروگاه

71

.....
.....

جدول ۱۲-۳. نتایج مربوط به تحلیل انرژی و انرژی واحد گازی نیروگاه سیکل ترکیبی

..... ۷۲

جدول ۱۳-۳. نتایج مربوط به تحلیل انرژی و انرژی واحد بخار نیروگاه سیکل ترکیبی

..... ۷۳

جدول ۱۴-۳. نتایج مربوط به محاسبات راندمان انرژی و انرژی سیکل ترکیبی

..... ۷۳ نیروگاه

فهرست اشکال

عنوان

صفحه

شکل ۱-۱. شماتیک فرایند تولید برق واحد ۱ در نیروگاه سیکل ترکیبی مورد نظر

۸.....

شکل ۲-۱. شماتیک تجهیزات موجود در بویلر بازیافت حرارت نیروگاه سیکل ترکیبی

۹.....

شکل ۳-۱. شمایی از بخش گازی نیروگاه مورد بررسی

۱۴.....

شکل ۱-۲. بالانس جرم وانرژی

.....

۱۶.....

شکل ۲-۲. شماتیکی از توان بالقوه انجام کار مفید یک سیستم

۱۷.....

شکل ۳-۲. بالانس

.....

۱۸.....

شکل ۴-۲. سیکل ایده آل نیروگاه گازی (سیکل برایتون)

۲۳.....

شکل ۵-۲. شماتیک سیکل ترکیبی برای تون/رانکین

۲۴

شکل ۶-۲. شمایی از پروفایل دما در نقاط مختلف یک بویلر بازیافت حرارت

۲۵

شکل ۷-۲. شماتیک دیاریتورهای موجود در نیروگاه مورد بررسی

۲۸

شکل ۸-۲. حجم کنترل انتخابی برای نوشتن موازنه جرم برای توربینهای بخار سیکل ترکیبی نیروگاه حاضر

۲۹

شکل ۹-۲. منحنی T-S پمپ

.....

۳۱

شکل ۱۰-۲. شماتیک کمپرسور

.....

۳۳

شکل ۱۱-۲. شماتیک توربین گازی

.....

۳۴

شکل ۱۰-۳. دیاگرام جریانهای انرژی واحد گازی نیروگاه حاضر در شرایط طراحی

۴۴

شکل ۲-۳. مقایسه سیکل واحد گازی نیروگاه حاضر در شرایط طراحی با سیکل ایده آل برای تون

۴۵

شکل ۳-۳. دیاگرام جریانهای انرژی واحد گازی نیروگاه حاضر در شرایط طراحی

۴۷

شکل ۴-۳. اطلاعات ترمودینامیکی سیکل تولید بخار در دمای ۳۱ درجه سانتیگراد

..... شکل ۵-۳. شمایی از پروفایل دما در نقاط

مختلف بویلر بازیافت حرارت نیروگاه حاضر در شرایط طراحی با بار پایه و دمای

.....
.....31°C

شکل ۳-۶. منحنی مشخصه پمپهای کندانس واحد بخار نیروگاه سیکل ترکیبی مورد

نظر.....۵۹

شکل ۳-۷. نمودار جریانهای انرژی واحد بخار نیروگاه سیکل ترکیبی در شرایط تست کارایی با دمای محیط

۳۱°C ۶۵ شکل ۳-۸. نمودار جریانهای انرژی واحد بخار نیروگاه سیکل ترکیبی در شرایط تست

کارایی با دمای محیط ۳۱°C ۶۹

چکیده

در این مقاله، ضمن معرفی سیکل تولید یک نیروگاه سیکل ترکیبی، مبانی ارزیابی راندمان و آنالیز انرژی و انرژی سیکل و تجهیزات آن شرح داده شده است و در نهایت راندمان و آنالیز انرژی و انرژی سیکل و تجهیزات آن بر اساس اطلاعات طراحی برای یک نمونه از نیروگاه سیکل ترکیبی محاسبه می‌گردد. در فصل اول مقاله، به معرفی بخشهای مختلف یک نیروگاه سیکل ترکیبی دارای ۴ واحد گازی ساخت شرکت میتسوبیشی ژاپن با ظرفیت اسمی هر یک ۵/۱۲۸ مگاوات پرداخته می‌شود. سپس روشها و مراحل ممیزی انرژی در این نیروگاه مورد توجه قرار می‌گیرد.

در فصل بعد پس از ارائه مبانی آنالیز انرژی و انرژی، روش محاسبه راندمان و آنالیز انرژی و انرژی سیکل و تجهیزات آن در بخش های بخاری و گازی مورد توجه قرار گرفته است. در فصل سوم، راندمان و



PowerEn.ir

آنالیز انرژی و انرژی هریک از تجهیزات واحدهای بخاری و گازی و نیز کل سیکل واحد گازی، بخاری و سیکل ترکیبی نیروگاه مورد بررسی، بر مبنای اطلاعات طراحی تجهیزات، ارزیابی و تحلیل می‌گردد. لازم به ذکر است کلیه محاسبات بر مبنای شرایط محل و سوخت گاز طبیعی در بار پایه صورت می‌گیرد.

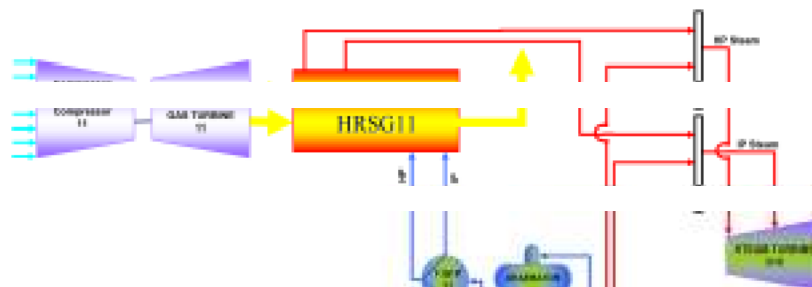
فصل اول توصیف واحدها و ارائه اطلاعات طراحی تجهیزات

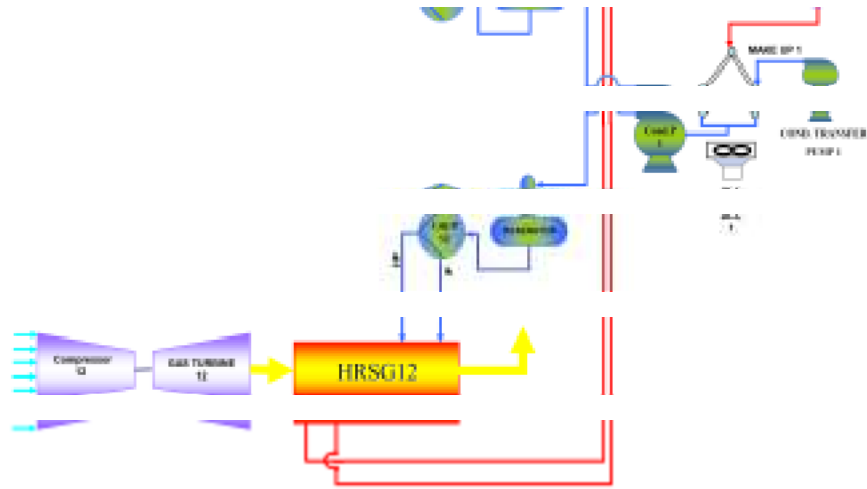
در این فصل از گزارش، به معرفی بخشهای مختلف یک نیروگاه سیکل ترکیبی دارای ۴ واحد گازی ساخت شرکت میتسوبیشی ژاپن با ظرفیت اسمی هر یک ۵/۱۲۸ مگاوات پرداخته می شود. سپس روشها و مراحل ممیزی انرژی در این نیروگاه مورد توجه قرار می گیرد [۱].

۱-۱. شرح مختصری از نیروگاه ترکیبی مورد نظر

لازم به ذکر نیروگاه سیکل ترکیبی مورد نظر در ابتدا، یک نیروگاه گازی بوده که توسط شرکت ABB با نصب ۴ بویلر بازیافت حرارت و دو توربوژنراتور بخاری هر یک با ظرفیت اسمی ۱۰۰ مگا وات به نیروگاه ترکیبی تبدیل شده است. شماتیک فرایند تولید برق در نیروگاه سیکل ترکیبی ذکر شده در شکل ۱-۱ نمایش داده شده

است .





شکل ۱-۱. شماتیک فرایند تولید برق واحد در نیروگاه سیکل ترکیبی مورد نظر

۸

۲-۱. واحد تولید بخار

واحد تولید بخار که یکی از بخشهای مهم نیروگاه است ، ملزم به تولید بخار خشک با درجه حرارت و فشارهای معین به منظور به حرکت در آوردن توربین بخار می باشد. این واحد از ۴ عدد بویلر بازیافت حرارت تشکیل شده است که انرژی مورد نیاز خود را از انرژی حرارتی خروجی از آگروز واحدهای گازی تأمین می نمایند.

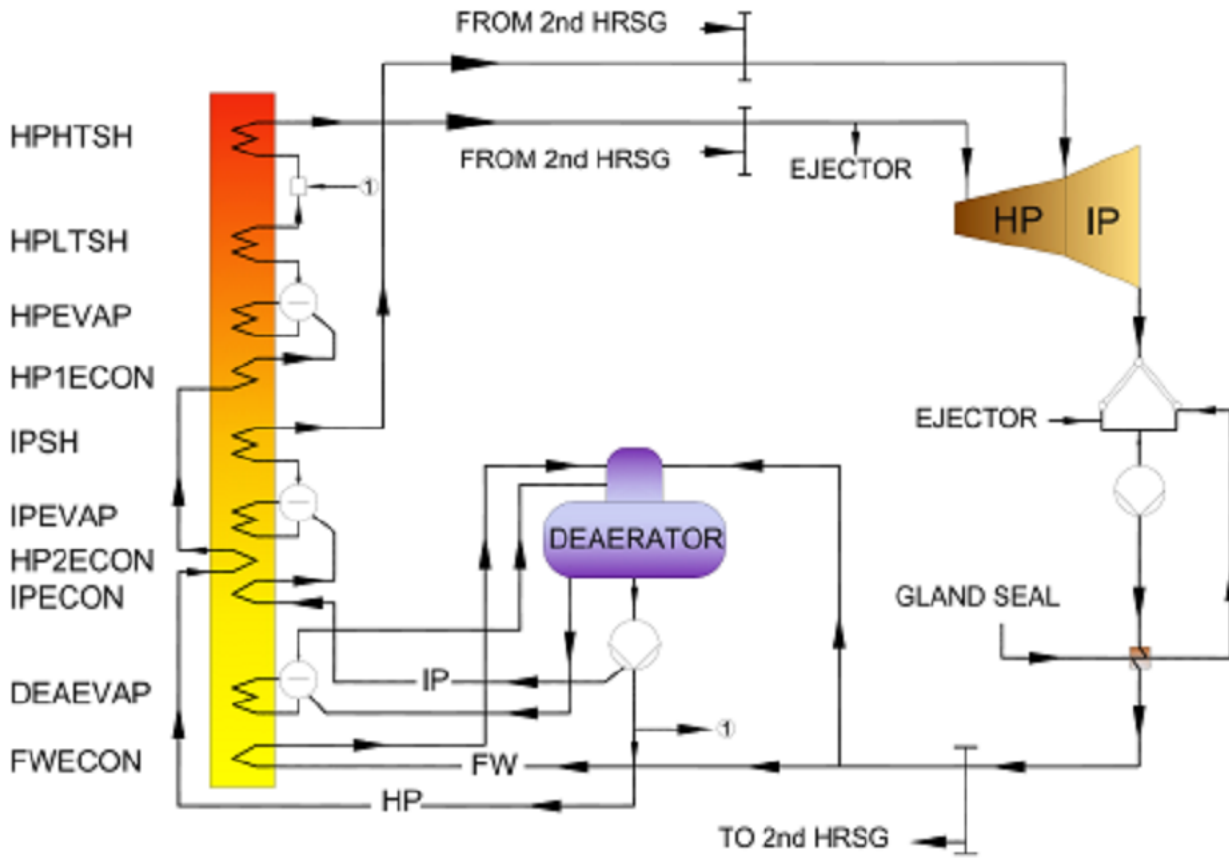
بویلرهای بازیافت این نیروگاه از نوع افقی و بدون مشعل کمکی است که هر دو بویلر قادر هستند بخار خشک مورد نیاز یک واحد توربین بخار، بالغ بر ۴۰۰ تن در ساعت با دمای ۴۸۰ درجه سانتیگراد را تأمین نماید.

فرآیند تولید بخار در بویلرهای بازیافت در دو فاز فشار متوسط ۱۵۵۹ata با دمای 193 ± 6 و

فشار قوی

۷۸۴ata با دمای 482 ± 6 صورت می گیرد.

تجهیزات موجود در بویلرهای بازیافت شامل اکونومایزر، تبخیرساز، سوپرهیتر برای دو مسیر فشار متوسط و فشار قوی می باشد. در شکل ۲-۱ شماتیک تجهیزات موجود در بویلر بازیافت حرارت نیروگاه سیکل ترکیبی ارائه شده است .



شکل ۲-۱. شماتیک تجهیزات موجود در بویلر بازیافت حرارت نیروگاه سیکل ترکیبی

1 Atmospheric absolute pressure

۲-۲-۱. اکونومايزرها

بويلر بازيافت حرارت نيروگاه مورد نظر داراي چهار مرحله اکونومايزر مي باشد.

مرحله اول، اکونومايزر پيشگرمائيش آب ورودی ۱ به ديارياتور مي باشد. لازم به ذکر است که در صورت کاهش دماي دود توربين هاي گازی به دليل افت بار و در صورت استفاده از سوخت گازوئيل به جاي گاز طبيعي براي توربين هاي گازی، جهت جلوگیری از پديده خوردگی، اين مرحله حذف شده و کندانس بدون پيش گرمائيش مستقيماً به ديارياتور وارد مي شود.

مراحل دوم، اکونومايزر مسير فشار متوسط ۲ مي باشد و مراحل سوم و چهارم اکونومايزر شامل اکونومايزر هاي مسير توليد بخار فشار قوي ۳ مي باشد که اين مسيرها در زمان کاري بويلر هميشه در مدار هستند.

اکونومايزر هاي موجود در بويلر هاي بازيافت نيروگاه مورد بحث جهت افزايش انتقال حرارت از نوع پره دار مي باشند.

۳-۲-۱. تبخيرکننده ها

بويلر بازيافت حرارت نيروگاه مورد نظر داراي سه مرحله تبخير کننده مي باشد.

مرحله اول، تبخير کننده ديارياتور نام دارد که وظيفه اين تبخير ساز، تبخير بخشي از آب ديارياتور و بازگرداندن بخار حاصل به ديارياتور جهت هوازدايي و متعاقباً گرمائيش آب موجود در ديارياتور مي باشد.

مراحل دوم و سوم، تبخير کننده هاي فشار متوسط ۵ و فشار قوي ۶ مي باشند. تبخير کننده هاي موجود در بويلر هاي بازيافت نيروگاه حاضر جهت افزايش انتقال حرارت از نوع پره دار مي باشند.

۴-۲-۱. سوپرهيترها

بويلر بازيافت حرارت نيروگاه حاضر داراي سه مرحله سوپرهيتتر مي باشد.

مرحله اول سوپرهیتر فشار متوسط ۷ می باشد و مراحل دوم و سوم، سوپرهیترهای دما پایین ۸ و دما ۹ بالای بخار فشارقوی می باشد.

10

۱-۲-۵. دی سوپرهیتر

سوپرهیتر فشار قوی بویلرهای بازیافت حرارت این نیروگاه، دو مرحله ای است (سوپرهیتر دما

پایین و سوپر

1. Feed Water Economizer (FWECON)
2. Intermediate Pressure Economizer (IPECON)
3. High Pressure 1st, 2nd Economizer (HP1ECON, HP2ECON)
4. Deaerator Evaporator (DEEVAP)
5. Intermediate Evaporator (IPEVAP)
6. High Pressure Evaporator (HPEVAP)
7. IP Superheater
8. HP Low Temp. Superheater
9. HP High Temp. Superheater
10. Desuperheater

هیتر دما بالا). بین دو مرحله سوپرهیتر، کنترل کننده ای به نام دی سوپرهیتر قرار دارد که کار آن کنترل درجه حرارت بخارفشار قوی ورودی توربین در مقدار 482 ± 6 است. چنانچه دمای بخار فشار قوی ورودی توربین از حد مجاز بالاتر باشد، توسط این مسیر مقداری آب از آب تغذیه فشار قوی داخل بخار بین دو مرحله سوپرهیتر اسپری می گردد.

۶-۲-۱. توربوژنراتورهای واحد بخاری

نیروگاه بخار سیکل ترکیبی حاضر شامل دو توربوژنراتور با قدرت $75/122$ مگاوات آمپر و ضریب توان $8/0$ و ولتاژ خروجی $5/11$ کیلو ولت می باشد. توربین های بخار این نیروگاه از نوع Single Casing و دارای 32 مرحله می باشند که انرژی جنبشی بخارهای سوپر هیت خروجی از دو بویلر بازیافت (فشار متوسط و فشار قوی) را به انرژی مکانیکی تبدیل می کند تا امکان تولید الکتریسته در ژنراتور فراهم گردد.

ژنراتور بخش بخار با سیستم تحریک بدون جاروبک و از نوع سیستم هوای خنککن مدار بسته می باشد.

ولتاژ خروجی ژنراتور از طریق یک دستگاه ترانسفورماتور قدرت با ظرفیت 137 مگا ولت آمپر که با جریان اجباری هوا خنک می گردد به سطح ولتاژ شبکه یعنی 230 کیلو ولت افزایش می یابد و بدین ترتیب انرژی تولیدی واحد وارد شبکه سراسری می گردد.

۷-۲-۱. ترانسفورماتور قدرت

ولتاژ خروجی ژنراتور از طریق یک دستگاه ترانسفورماتور قدرت با ظرفیت 137 مگا ولت آمپر که با جریان اجباری هوا خنک می گردد به سطح ولتاژ شبکه یعنی 230 کیلو ولت افزایش می یابد و بدین ترتیب انرژی تولیدی واحد وارد شبکه سراسری می گردد.

۳-۱. سیکل حرارتی و سایر تجهیزات

سایر بخشهای واحد بخاری عبارتند از کندانسور، سیستم خلأ، پمپهای مکنده، هوازدا و ... که در ادامه به توضیح بیشتر این بخشها پرداخته می شود.

۱-۳-۱. کندانسور

بخار خروجی از توربین وارد کندانسور هوایی شده و ضمن تبادل حرارت با جریان هوایی

ایجاد شده توسط

۱۸ الکتروفن ، شرایط کندانس بخار در کندانسور فراهم شده و کندانس حاصل وارد تانک برگشت کندانس ۱ شده و توسط پمپهای مکنده به هوازدا انتقال می یابد.

۱-۳-۲. سیستم خلأ

کندانسور مربوط به هر توربوژنراتور واحد بخاری دارای یک سیستم تولید خلأ شامل دو

قسمت است :

۱ . Condensate Reciver Tank

۱- اجکتور راه انداز

اجکتور فوق، تک مرحله ای و فاقد کندانسور است که جهت مکش گازهای غیر قابل کندانس به کار می رود و قادر است خلأ کندانسور را در مرحله راه اندازی واحد، در مدت حدود ۳۰ دقیقه به ۲/۰ bara و در نهایت به کمتر از ۱/۰ bara برساند. بخار مصرفی این اجکتور، بخار ۳/۱۷ bara با دمای ۴۴۵ درجه سانتیگراد و دبی ۵۴۵ کیلوگرم بر ساعت بوده که توسط بویلر کمکی تامین می شود.

۲- اجکتورهای اصلی

برای هر واحد، دو اجکتور دو مرحله ای موجود است که در حالت نرمال و بهره برداری دائم، حتما یکی از این دو در مدار است. این اجکتورها دارای کندانسور است و آب کندانسه آنها به تانک برگشت کندانس می رود.

بخار مصرفی این اجکتور، بخار ۳/۱۷ bara با دمای ۴۴۵ درجه سانتیگراد و دبی ۴۷۴۰ کیلوگرم بر ساعت بوده که خلأ کندانسور را در محدوده ۰/۰-۰/۰۵ bara تامین می نماید.

۳-۳-۱. پمپهای کندانس^۱

هر واحد بخاری دارای دو عدد پمپ سه مرحله ای از نوع ۲۰۰۰۳HOTA است که در زمان بهره برداری دائم، یکی از این دو در مدار است. این پمپ آب کندانسه جمع آوری شده در تانک برگشت کندانس را به هوازدهای دو بویلر بازیافت حرارت هدایت می کند.

۴-۳-۱. هوزدا^۲

برای هر بویلر بازیافت یک هوزدا برای گاززدائی و پیشگرم کردن آب کندانسور جهت ورود به پمپ های تغذیه وجود دارد. بخار مورد استفاده در هوزدا از سیرکوله کردن مجدد بخشی از آب دیاریتور درون تبخیر کننده دیاریتور در شرایط کارکرد با گاز طبیعی و بار نرمال

کاري تامین مي گردد و در شرایط افت بار و یا استفاده از سوخت گازوئیل در توربینهای گازی ، مسیر بخار IP به سمت هوازدا باز مي شود.

۳
۵-۳-۱. پمپهای تغذیه آب

آب تغذیه فشار متوسط و فشارقوي براي هر بویلر بازیافت حرارت، توسط دو عدد پمپ تغذیه سانتریفوژ با دو خروجي تأمین مي شود که در زمان بهره برداري دائم ، یکی از این دو در مدار است . آب تحت فشار خروجي از پمپها با دمای حدود C ۱۵۰ و فشارهای حدود ۳۰ و ۱۲۰ بار وارد بویلر بازیافت حرارت مي شوند.

۶-۳-۱. سیکل آب خنککن (ECCCW)

به منظور کنترل دمای تجهیزات گردان از جمله توربین ، ژنراتور، الکتروپمپ ها و غیره،

واحدهای بخار مجهز

- 1 . Condensate pump
- 2 .Deaerator
- 3 . Feed Water Pump
- 4 . Closed Circuit Cooling Water System

به سیستم کمکی خنککاری می باشند. آب سیستم خنککن توسط پمپ سیرکولاسیون، عملیات تبادل حرارت با محیط در برج خنککن و توسط ۸ دستگاه الکترو موتور تحت کنترل قرار می گیرد.

۱-۳-۷. سیکل روغن

سیکل روغن که برای روغنکاری یاتاقان های توربین و ژنراتور تغذیه به کار می رود شامل تانک روغن، پمپ ها، سیستم تصفیه روغن و سیستم خنک کننده روغن است.

۱-۴. بخش گازی نیروگاه مورد نظر

نیروگاه سیکل ترکیبی مورد نظر شامل ۴ واحد گازی ساخت میتسوبیشی (مدل MWY01D-)، با ظرفیت اسمی هریک ۵/۱۲۸ مگاوات است. سوخت اصلی این واحدها، گاز طبیعی و سوخت دوم آن، گازوئیل است که بصورت مجزا و مخلوط قابل بهره‌برداری می باشد.

سیستم کنترل پیشرفته DCS واحدهای گازی به نحوی طراحی شده که امکان کنترل کلیه بخشهای عملیات راهاندازی، بهره‌برداری و مانیتورینگ واحدها از اتاق فرمان مرکزی و یا محلی فراهم گردد. اجزاء اصلی واحدهای گازی شامل موتور راهانداز، کمپرسور، محفظه احتراق، توربین، ژنراتور و ترانسفورماتور قدرت می باشد.

۱- موتور راهانداز

موتور راه انداز، موتور الکتریکی با ظرفیت ۴۵/۱ مگاوات و با ولتاژ ۶ کیلوولت است که به واسطه کوپلینگ هیدرولیکی به محور توربو کمپرسور متصل می باشد و در بدو راهاندازی تأمین هوای مورد نیاز احتراق را از طریق چرخش محور توربوکمپرسور به عهده دارد. پس از برقراری شرایط پایدار سیستم احتراق، در بار حدود ۷۰ درصد دور نامی ژنراتور، از مدار خارج می گردد.

۲- کمپرسور

کمپرسور توربین گاز که از نوع محوري و داراي ۱۹ مرحله مي باشد، قادر است هواي مورد نیاز سيستم احتراق که بالغ بر یک ميليون و صد و بيست هزار متر مکعب در ساعت مي باشد را با فشار حدود چهارده بار تأمين و وارد محفظه احتراق نمايد.

۳ - محفظه احتراق

در محفظه احتراق که شامل ۱۸ عدد نازل سوخت ، بسکت و ترانزیشن پيس مي باشد و به صورت حلقوي در اطراف روتور توربو کمپرسور قرار دارد، گازهاي داغ ناشي از عمل احتراق جهت انجام کار به سمت توربین هدايت مي گردد.

۴ - توربین

عبور گازهاي داغ حاصل از احتراق از ۴ مرحله توربین موجب گردش محور توربین گردیده و شرایط لازم را جهت تبدیل انرژی مکانیکی به الکتریکی در ژنراتور فراهم می‌سازد.

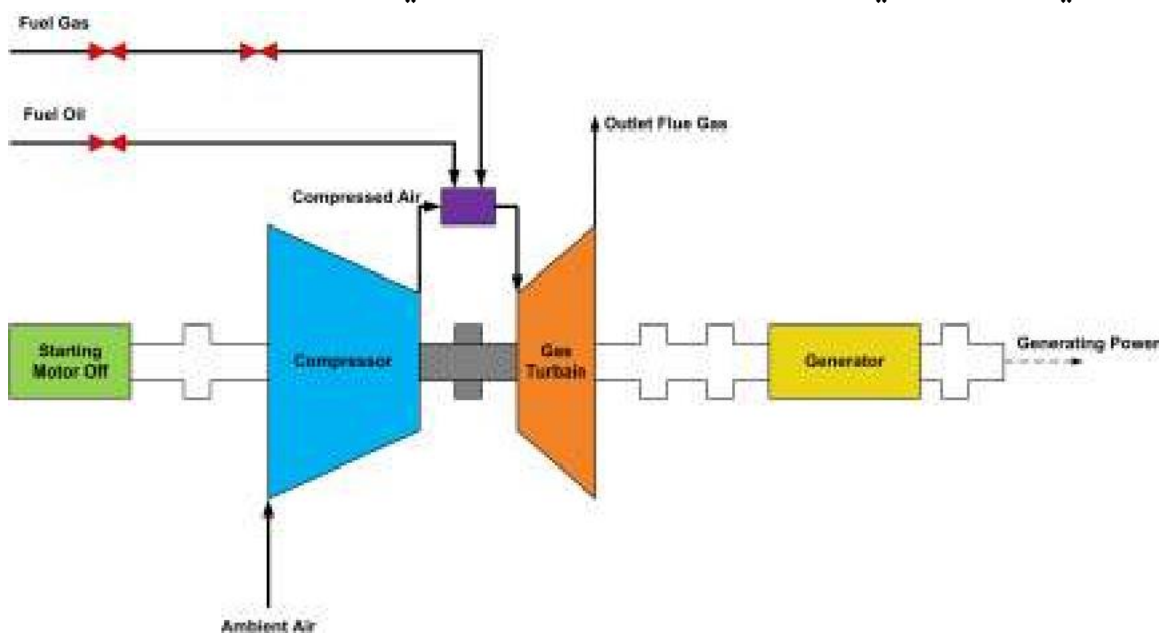
۵- ژنراتور

ژنراتور بخش گازی، با قدرت ۱۱۸ مگا ولت آمپر و ولتاژ خروجی ۸/۱۳ کیلو ولت با سیستم تحریک بدون جاروبک و سیستم هوای خنککن مدار بسته می‌باشد.

۶ - ترانسفورماتور قدرت

ولتاژ خروجی ژنراتور از طریق یک دستگاه ترانسفورماتور قدرت با ظرفیت ۱۲۶ مگاوات آمپر که با جریان اجباری هوا و روغن خنک می‌گردد به سطح ولتاژ شبکه یعنی ۲۳۰ کیلوولت افزایش و از طریق پست نیروگاه انرژی تولیدی واحدها وارد شبکه سراسری می‌گردد.

شمایی از بخش گازی این نیروگاه در شکل ۱-۳ ملاحظه می‌گردد.





PowerEn.ir

شکل ۱-۳. شمایی از بخش گازی نیروگاه مورد بررسی

۱۴

۵-۱. واحد تصفیه آب

این واحد شامل سه بخش تصفیه مقدماتی آب، اسمز معکوس و واحد تبادل یون^۱ می باشد. عملیاتی که در تصفیه مقدماتی آب انجام می گیرد شامل کلاریفایر^۲، فیلترهای ته نشینی^۳، مخزن جمع آوری آب فیلتر شده^۴، فیلترهای کارتریج^۵، سیستمهای تغذیه مواد شیمیایی^۶ و سیستم های تنظیم مواد شیمیایی اسمز معکوس^۷ می باشد.

آب خروجی از تصفیه مقدماتی وارد بخش اسمز معکوس می شود. در این بخش با ایجاد نیروی محرکه اختلاف فشار و غلبه بر اختلاف فشار اسمزی تصفیه آب انجام می گیرد، در واقع این نیروی محرکه باعث عبور آب خالص از سطح غشاء و جمع آوری آب خالص می گردد. آب خروجی اسمز معکوس برای آب آشامیدنی استفاده می شود و بخشی از آن به همراه آب برگشتی از واحد بخار وارد بخش تعویض یونی (واحد تولید آب دمین) می شود. این بخش از بسترهای آنیونی، کاتیونی و مخلوط تشکیل شده است. آب دمین تولیدی پس از این مرحله در تانکهای ذخیره دمین ذخیره شده و سپس به نیروگاه بخار فرستاده می شود.

لازم به ذکر است مصرف کنندگان واحد دمین، مصرف داخلی واحد جهت احیاء واحد و مصرف جزئی آزمایشگاه بوده و تقریباً همه تولید این واحد برای واحد بخاری نیروگاه ارسال می گردد.

۶-۱. لیست الکتروموتورهای بالای ۵/۷ کیلووات

با توجه به مدارک موجود برای واحدهای گازی این نیروگاه، لیست موتورهای با توان بالاتر از ۵/۷ کیلووات جمع آوری شد و مشخص گردید که موتورها در دو سطح ولتاژ ۳۸۰ و ۶۶۰۰ ولت کار می کنند. با بررسیهای صورت گرفته، مشخص شد که تجهیزات ردیفهای ۴ و ۷ و ۹ و ۱۰ و ۱۱ دارای کارکرد دائمی هستند و مصرف انرژی قابل توجهی دارند. مابقی تجهیزات به صورت لحظه ای و در موارد خاص در مدار می آیند.

همچنین با بررسی مدارک موجود برای واحدهای بخار نیروگاه سیکل ترکیبی مورد نظر، لیست موتورهای با توان بالاتر از ۵/۷ کیلووات جمع آوری شد و ملاحظه شد که موتورهای در دو سطح ولتاژ ۳۸۰ و ۶۶۰۰ ولت کار می کنند. با بررسی های صورت گرفته ، مشخص شد که همه این تجهیزات به غیر از پمپ هیدرولیک توربین کارکرد دائمی دارند.

۱ . Ion Exchanger

۲ . Clarifier

۳ . Gravity Filters

۴ . Filtered Water Clearwell

۵ . Cartridge

۶ . Chemical feed Systems

۷ . R.O. Chemical dosing systems

فصل دوم: مبانی ارزیابی راندمان و آنالیز انرژی و انرژی سیکل و تجهیزات آن

در این فصل از گزارش پس از ارائه مبانی آنالیز انرژی و انرژی، روش محاسبه راندمان و آنالیز انرژی و انرژی کل سیکل و تجهیزات آن در بخش های بخاری و گازی مورد توجه قرار گرفته است .

۱-۲. مبانی بالانس جرم و انرژی

قوانین بقای جرم و بقای انرژی (قانون اول ترمودینامیک) قوانین پایه پدیده های فیزیکی از جمله انتقال جرم و انرژی هستند. در شرایط پایدار ترمودینامیکی جریانهای جرم و انرژی ورودی و خروجی یک حجم کنترل مطابق شکل ۲-۳ است [۲].

$\dot{W}, \text{kJ/sec}$		$\dot{m}, \text{kg/sec},$
	°	
$e, \text{kJ/kg}$		$Q, \text{kJ/sec}$
	°	
$\dot{W}_i, \text{kJ/sec}$		
		$Q, \text{kJ/sec}$
$\dot{m}, \text{kg/sec},$		i
°		
	$e_o, \text{kJ/kg}$	

شکل ۱-۲. بالانس جرم و انرژی

برای تحول حالت دائم - جریان دائم ، بالانس جرم و انرژی به صورت زیر خواهد بود [۲]:

$$\sum \dot{m}_i = \sum \dot{m}_o, (\text{kg}); \sum \dot{m}_i = \sum \dot{m}_o, (\text{kg/sec}) \quad (1-2)$$

$$\sum \dot{E}_i = \sum \dot{E}_o, (\text{kJ}); \sum \dot{E}_i = \sum \dot{E}_o, (\text{kJ/sec}) \quad (2-2)$$

بنابراین بالانس نرخ انرژی (توان) روی یک حجم کنترل در یک تحول حالت دائم - جریان دائم به

صورت رابطه زیر

بیان می شود [۲]:

$$\sum_2 [Q_i - W_i - m_i(h_i - 1V_{i2} - gz_i)] = \sum_2 [Q_o - W_o - m_o(h_o - 1V_{o2} - gz_o)], (kJ/sec) \quad (3-2)$$

۲-۲. مبانی بالانس انرژی

به خاطر اینکه انرژی بقاء دارد برای سیستم های موجود اصل بقای انرژی یا رابطه قانون اول به کار برده می شود ولی در مورد انرژی نمی توان لفظ بقاء را به کار برد چون مقداری از انرژی در طی یک فرآیند به علت وجود بازگشت ناپذیری از بین می رود و در نتیجه مجموع انرژیهای حالت نهایی فرآیند با انرژی اولیه مساوی نیست و اختلاف بین انرژی اولیه و نهایی همان بازگشت ناپذیری فرآیند می باشد [۳]. آنالیز انرژی یک فرآیند یا یک سیستم ، نشان می دهد که چه مقدار از قابلیت انجام کار یا انرژی ورودی، توسط آن فرآیند یا سیستم ، مصرف شده است . اتلاف انرژی یا به عبارت دیگر بازگشت ناپذیری، میزان ناکارآمدی سیستم مورد مطالعه را به صورت کمی نشان می دهد. علاوه بر آن اگر سیستم فوق از چند جزء مختلف تشکیل شده باشد، آنالیز انرژی، چگونگی توزیع بازگشت ناپذیری کلی سیستم را بین اجزاء آن نشان داده و مشخص می کند که چه اجزایی نقش بیشتری در میزان بازگشت ناپذیری کلی دارند [۴].

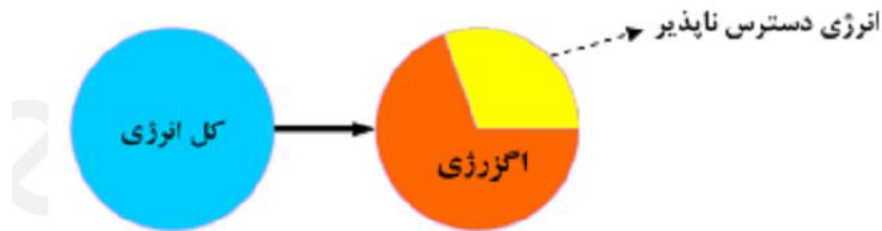
بالانس انرژی در واقع مقایسه وضعیت موجود با بهترین حالت ممکن می باشد. توان بالقوه

انجام کار مفید

یک سیستم در یک حالت مشخص "انرژی" (Ex) نامیده می شود. انرژی یک خاصیت

ترمودینامیکی است که

به حالت‌های سیستم و محیط بستگی دارد. اگزرژی حداکثر قابلیت تبدیل انرژی به کار می



شکل ۲-۲. شماتیکی از توان بالقوه انجام کار مفید یک سیستم

به حالت‌های سیستم و محیط بستگی دارد. اگزرژی حداکثر قابلیت تبدیل انرژی به کار می باشد (شکل ۲-۲) [۵].

شکل ۲-۲. شماتیکی از توان بالقوه انجام کار مفید یک سیستم

میزان اگزرژی انتقال یافته از یک منبع حرارتی را می توان به صورت ملموس زیر بیان کرد [۲]:

$$Exergy = Q(1 - T_0/T)$$

(4-2)

T

که در آن Q (بر حسب kJ) انرژی، T و kelvin (T₀) دمای منبع و محیط ، و ترم اول به عنوان کیفیت

انرژی (راندمان یک سیکل حرارتی ایده ال) تعریف می شود [۲]:

$$EnergyQuality = 1 - T_0/T$$

(5-2)

T



PowerEn.ir

کار بازگشت پذیر (W_{reV}) به حدکثر مقدارکار مفید که می تواند در تحول یک سیستم از یک حالت اولیه به یک حالت نهایی ، تولید شود (یا حداقل کار مفید که می تواند مصرف شود) اطلاق می شود. چنین تحوли تحول بازگشت پذیر نامیده می شود. تفاوت بین کار بازگشت پذیر و کار مفید (W_U) ، میزان بازگشت ناپذیری (I) را تعیین می کند. بازگشت ناپذیری معادل انرژی هدر رفته یک تحول و متناسب با انرژی تولید شده طی یک تحول است . نرخ این متغیرها بر اساس رابطه زیر به هم مربوط می شوند[۲]:

$$I = \frac{E_{destroyed} + T_0 S_{gen} + W_{rev,out} - W_{u,out} + W_{u,in} - W_{rev,out}}{W_{rev,out}} \text{ (kJ/sec)}$$

(6-2)

۳-۲. انتقال انرژی

انرژی با انتقال حرارت، کار و جریان جرم انتقال می یابد. میزان انتقال انرژی توسط

این تحولات با

استفاده از روابط زیر محاسبه می شود[۲]:



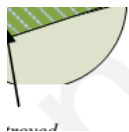
Heat

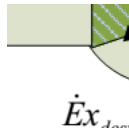
W_{out}, E_{out}



Heat

$E_{in}, Work$





Mass

Mass

E&x

destroyed

شکل ۲-۳. بالانس انرژی

نرخ انتقال انرژی بوسیله انتقال حرارت:

$$\dot{E}x_{heat} = (1 - T_o) \dot{Q}, (kJ/sec) \quad (7-)$$

2)

T

نرخ انتقال انرژی بوسیله کار:

$$\dot{E}x_{work} = \dot{W}, (kJ/sec) \quad (8-)$$

2)

نرخ انتقال انرژی بوسیله انتقال جرم :

$$\dot{E}x_{mass} = \dot{m}(ex), (kJ/sec)$$

(9-2)

انتقال جرم ممکن است همراه با تحول شیمیایی (در سیکل نیروگاه فرایند احتراق)، باشد. در این صورت انرژی ویژه (ex) شامل هر دو انرژی ویژه شیمیایی (exch) و انرژی ویژه ترمومکانیکی (extm) است و به تفکیک بیان

می شود [6]:

$$ex = extm + exch \quad (10-2)$$

که در آن:

$$extm = (h - h_o) - T_o(s - s_o), (kJ/kg) \quad (11-2)$$

$$\dot{m}_i \dot{h}_i - \dot{m}_e \dot{h}_e = \dot{Q}_{ch} \quad (12-2)$$

برای سوخت ex متوسط انرژی شیمیایی ترکیبات سوخت مصرفی است .

بنابراین :

$$\dot{E}_{\&X_{mass}} = \dot{m} \cdot [(h - h_o) - T_o(s - s_o)] \quad (13-2)$$

با توجه به اینکه انرژی شیمیایی یک جریان با پتانسیل شیمیایی آن نسبت به شرایط مرجع

معادل است ،

لذا می توان رابطه (۱۴-۲) را نیز برای محاسبه انرژی یک جریان مورد استفاده قرار داد [۶]:

$$\dot{E}_{\&X_{mass}} = \sum_i \dot{m}_i [(h_i - h_o) - T_o(s_i - s_o)] \quad (14-2)$$

با تعیین انرژی جریانهای مختلف ، راندمان انرژی به صورت نسبت انرژی مفید خروجی به انرژی ورودی قابل تعریف است .

۴-۲. بازده کلی سیکل

بازده انرژی (قانون اول) کلی سیکل ، بازده تبدیل انرژی ورودی به کار مفید خروجی (توان الکتریکی خروجی ژنراتور) است ، و بازده انرژی (قانون دوم) بازده تبدیل انرژی سوخت ورودی به کار مفید است . این دو بازده به صورت زیر محاسبه می شوند [۲]:

$$\eta_{\&net} = \frac{\dot{W}_{\&net}}{\dot{E}_i} \quad (15-2)$$

$$\eta_{\&net} = \frac{\dot{W}_{\&net}}{\dot{E}_{fuel}} \quad (16-2)$$

الف : واحد بخاري

معمولا معيار اصلي بررسي وضعيت نيروگاه، راندمان و Heat Rate نيروگاه مي باشد که محاسبه آن در ادامه توضيح داده خواهد شد.

معمولا راندمان هر نوع نيروگاه به صورت رابطه (۱۷-۲) تعريف مي گردد [۷]:

$$\eta = \frac{\text{PowerProduction}}{\text{EnergyInput}} \times 100 \quad (17-2)$$

در اين رابطه انرژي ورودي شامل انرژي مورد استفاده براي توليد بخار مصرفي توربينهاي بخار مي باشد و لذا در محاسبه راندمان در نيروگاه بخار، معمولا مجموعه بويلرها و توربوژنراتورها به طور همزمان در نظر گرفته مي شود.

در رابطه مذکور انرژی مفید خروجی را می توان برابر با انرژی الکتریکی خالص و یا ناخالص تولیدی در نظر گرفت تا بر این اساس راندمان خالص و یا ناخالص محاسبه گردد. در نیروگاهها معمولا بخشی از انرژی الکتریکی در داخل نیروگاه مورد استفاده قرار می گیرد، اگر انرژی الکتریکی مصرفی در داخل نیروگاه از انرژی الکتریکی تولیدی در نیروگاه کسر و انرژی الکتریکی خالص خروجی از نیروگاه بعنوان انرژی مفید در نظر گرفته شود، راندمان خالص قابل محاسبه است . در حالیکه راندمان ناخالص با در نظر گرفتن کل انرژی الکتریکی تولیدی ژنراتورها در نیروگاه بعنوان انرژی مفید، محاسبه می گردد [۸]. برای افزایش دقت راندمان محاسبه شده، علاوه بر انرژی الکتریکی مصرفی در نیروگاه، می توان انرژی الکتریکی معادل هوای فشرده، آب دمین و آب صنعتی را نیز در قالب انرژی الکتریکی مصرفی داخلی نیروگاه در نظر گرفت . در این حالت لازم است انرژی الکتریکی معادل هریک از حاملهای انرژی، تعیین گردد. البته از آنجا که معمولا انرژی الکتریکی معادل حاملهای انرژی مصرفی داخل نیروگاه در مقایسه با برق مصرف داخلی ناچیز است ، معمولا می توان ضمن محاسبه برق خالص تولیدی از آن صرفنظر کرد، در حالیکه صرفنظر کردن از برق مصرف داخلی ، مخصوصا در نیروگاه بخار (شامل برق مصرفی مجموعه بویلرها و توربوژنراتورها) ، منجر به کاهش دقت ضمن محاسبه راندمان می گردد، لذا باید برق مصرف داخلی نیز در محاسبه راندمان در نظر گرفته شود.

علاوه بر راندمان، مفهوم دیگری با عنوان Heat rate را نیز می توان برای بررسی و مقایسه عملکرد نیروگاهها به کار برد. Heat rate ، مقدار ویژه انرژی حرارتی لازم برای تولید انرژی الکتریکی است و مشابه رابطه زیر و با واحدهایی نظیر BTU/KWh و Kcal/KWh بیان می گردد[۸]:

$$\text{Heatrate} = \frac{\text{energyinput}}{\text{powerproduction}} \quad (18-)$$

2)

powerproduction

در واقع Heat rate و راندمان توسط روابط زیر قابل تبدیل است [۹]:

$$\text{Heatrate} \text{ BTU} = 3412.14 \quad (19-)$$

2)

$$\text{KWh} = \square$$

$$\text{Heatrate} \text{ Kcal} = 859.84 \quad (20-)$$

2)

$$\text{KWh} = \square$$

برای انواع راندمان خالص و ناخالص تعریف شده می توان مفهوم Heat rate را نیز برای مقایسه میزان مصرف انرژی در نیروگاهها به کار برد [۹].

راندمان انرژی کلی واحد بخار به صورت نسبت انرژی خروجی به انرژی ورودی نیروگاه تعریف می شود.

در مورد انرژی الکتریکی ، مفاهیم انرژی و انرژی معادل است و لذا می توان رابطه (۲-۲۱) را برای تعیین راندمان

انرژی واحد بخار به کار برد [۱۰]:

$$\text{ProducedPower} \quad (21-2) \quad \& \quad \text{EXFlueGas} - \text{EXFlueGas}$$

$$\square = \square$$

1

2

ب: نیروگاه گازی

راندمان نیروگاه گازی نیز براساس رابطه (۲-۱۷) قابل محاسبه است [۷و۱۱].

$$\eta = \frac{\text{PowerProduction}}{\text{EnergyInput}} \quad (17-2)$$

در این رابطه انرژی مفید خروجی را می توان برابر با انرژی الکتریکی خالص و یا ناخالص تولیدی در نظر گرفت تا بر این اساس راندمان خالص و یا ناخالص محاسبه گردد. برای افزایش دقت محاسبه راندمان، بهتر است انرژی مصرفی در قالب هوای فشرده و آب صنعتی را نیز در محاسبه راندمان نیروگاه گازی در نظر گرفت. البته لازم به ذکر است که معمولا در نیروگاه های گازی، انرژی الکتریکی مصرف داخلی در مقایسه با توان تولیدی نیروگاه قابل اغماض است و عملا راندمان خالص و ناخالص تفاوت چندانی ندارد.

انرژی ورودی به نیروگاه گازی شامل سوخت مصرفی نیروگاه گازی است و از آنجاکه در بعضی از ماهها، گاز طبیعی و گازوییل، سوخت ورودی به نیروگاه را شامل می گردد می توان انرژی ورودی به نیروگاه را به صورت زیر محاسبه کرد [۸]:

$$\text{EnergyInput} = m_{\text{Nat gas}} \cdot \text{LHV}_{\text{Nat gas}} + m_{\text{Fuel oil}} \cdot \text{LHV}_{\text{Fuel oil}} \quad (18-2)$$

که در این رابطه LHV ارزش حرارتی پایینی سوخت مورد نظر است. Heat rate نیروگاه گازی نیز به همان صورتی که در مورد نیروگاه بخاری توضیح داده شد، قابل محاسبه است.

ترسیم دیاگرام انرژی یا Sankey در نیروگاه گازی امکان بررسی چگونگی توزیع جریانهای انرژی در سیستم را فراهم می کند. برای ترسیم دیاگرام Sankey لازم است علاوه بر انرژی ورودی به وسیله سوخت ، مقدار انرژی انتقال یافته به وسیله سایر جریانهای جرم نیز مشخص گردد[۱۲]:

$$\text{Energy} \square \text{Flow} \square (h-h_0) \quad (19-2)$$

در محاسبه انتالپی جریانها در نمودار Sankey، دمای محیط و فشار ۱ بار بعنوان مرجع در نظر گرفته می شود.

معمولا برای بررسی نیروگاه گازی ساده، سیکل ایده آل برایتون در نظر گرفته می شود. فرضیاتی که برای

سیکل ایده آل برایتون در نظر گرفته می شود عبارتند از:

- بازگشت پذیر بودن فرآیندهای فشرده سازی در کمپرسور و انبساط در توربین گازی
- قابل اغماض بودن اختلاف انرژی جنبشی سیال در ورودی و خروجی هر یک از تجهیزات
- عدم وجود افت فشار در محفظه احتراق، فیلترهای هوای کمپرسور، مجراهای مربوط به ورود هوا یا خروج گازهای احتراق

- عدم تغییر در دبی و ترکیب درصد سیال در مراحل مختلف سیکل

نقاط ۱ و ۲ در شکل ۲-۴ به ترتیب بیانگر شرایط هوای ورودی و خروجی کمپرسور است. هوای خروجی کمپرسور در یک فرآیند فشار ثابت در محفظه احتراق، محترق شده و در نهایت گازهای احتراق وارد توربین گازی می شود. نقاط ۳ و ۴ شرایط گازهای ورودی و خروجی توربین گازی را نشان می دهد [۱۳].

پارامترهای کلیدی سیکل برای تون دمای گازهای ورودی به توربین گازی (دما در نقطه ۴) و نسبت فشار کمپرسور به توربین گازی است. جنس توربین محدود کننده دمای گازهای ورودی به توربین گازی است و بسته به این دما یک نسبت فشار بهینه برای توربین گازی وجود دارد [۱۴].

برای ترسیم نمودار در منطقه فشار ثابت بر مبنای ایده آل بودن هوا در فشارهای کمتر از ۱۰ بار می توان ارتباط دما و انتروپی را توسط رابطه ۲-۲۰ بیان کرد [۱۵].

$$S_{ig} - S_{ig0} = \int_{P_0}^T C_{Pig} \frac{dT}{T} - R \ln P \quad (20-2)$$

از طرفی :

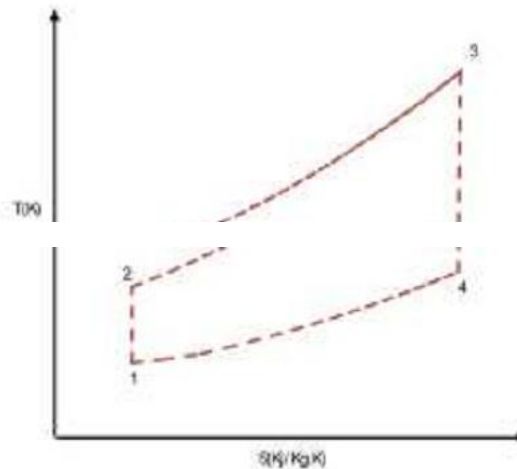
$$C_{Pig} = 3.355 + 5.75 \times 10^{-4} T - 1.612 \times 10^{-7} T^2 \quad (21-2)$$

$$\int_{T_0}^T C_{Pig} \frac{dT}{T} = 3.355 \ln \frac{T}{T_0} + 5.75 \times 10^{-4} (T - T_0) - 0.8 \times 10^{-7} (1_2 - 1_2) \quad (22-2)$$

راندمان سیکل ایده آل برای تون از رابطه زیر محاسبه می گردد [۱۳]:

$$\eta_{th} = 1 - \frac{T_3 - T_2}{T_1 - T_2} \quad (23-2)$$

برای مقایسه عملکرد سیکل نیروگاه با سیکل ایده آل برایتون لازم است نمودار سیکل با در نظر گرفتن شرایط ترمودینامیکی واقعی در هریک از نقاط سیکل ، ترسیم شود و در نهایت راندمان سیکل محاسبه گردد. لازم به ذکر است که انحراف سیکل واقعی از سیکل ایده آل برایتون به دلیل عواملی نظیر بازگشت ناپذیری کمپرسور و توربین گازی و نیز افت فشار در محفظه احتراق است .



شکل ۲-۴. سیکل ایده آل نیروگاه گازی (سیکل برایتون)

راندمان انرژی کلی واحد گازی به صورت نسبت انرژی خروجی به انرژی ورودی نیروگاه

تعریف می شود.

در مورد انرژی الکتریکی ، مفاهیم انرژی و انرژی معادل است و لذا می توان رابطه (۲-۲۴) را برای تعیین راندمان انرژی نیروگاه به کار برد:

$$\eta = \frac{\text{Produced Power}}{\text{EX}_{\text{fuel}}} \quad (2-24)$$

از آنجا که تبدیل انرژی در محفظه احتراق در دمای نسبتاً بالا صورت می گیرد، تلفات انرژی داخلی در محفظه احتراق و در نتیجه نیروگاه گازی معمولاً قابل ملاحظه است . با افزایش دمای احتراق می توان تلفات انرژی را کاهش داد، اما معمولاً برای افزایش دما از نظر ساختار مواد مورد استفاده در ساخت توربین و تشکیل NOx محدودیت وجود دارد [۱۰].

ترسیم دیاگرام اگزرژی یا Grassmann در نیروگاه گازی امکان بررسی چگونگی توزیع جریانهای اگزرژی در سیستم را فراهم می کند. برای ترسیم دیاگرام Grassmann لازم است علاوه بر اگزرژی ورودی به وسیله

سوخت ، مقدار اگزرژی انتقال یافته به وسیله سایر جریانهای جرم نیز مشخص گردد [۱۶]:

$$\text{Exergy} \square \text{Flow} \square (\text{ex} - \text{ex}_0) \quad (25-2)$$

با توجه به اینکه مبنای اطلاعات موجود برای اگزرژی شیمیایی دمای مرجع ۲۵ درجه سانتیگراد و فشار ۱ بار است ، برای محاسبه اگزرژی کلیه جریانها در نمودار Grassmann ، فشار ۱ بار و دمای محیط (۲۵ درجه سانتیگراد) به عنوان مرجع در نظر گرفته می شود.

ج: سیکل ترکیبی

در سیکل ترکیبی با به کار گرفتن گرمای تلف شده از خروجی توربین گاز (چرخه برایتون) به عنوان توان مصرفی جهت تولید بخار آب لازم برای توربین بخار، بازده گرمایی کل سیستم افزایش می یابد. شماتیک سیکل ترکیبی در شکل ۲-۵ نشان داده شده است [۱۷].

راندمان سیکل ترکیبی نیز براساس رابطه (۱۷-۲) قابل محاسبه است [۷].

$$\frac{\text{PowerProduction}}{\text{EnergyInput}} \approx 100 \quad (17-2)$$

در این رابطه انرژی مفید خروجی را می توان برابر با مجموع انرژی الکتریکی خالص تولیدی و یا مجموع انرژی الکتریکی ناخالص تولیدی واحدهای گازی و بخار در نظر گرفت تا بر این اساس راندمان خالص و یا ناخالص محاسبه گردد. معمولا در نیروگاههای سیکل ترکیبی مانند نیروگاههای گازی، انرژی الکتریکی مصرف داخلی در مقایسه با توان تولیدی نیروگاه قابل اغماض است و عملا راندمان خالص و ناخالص تفاوت چندانی ندارد.

انرژی ورودی به نیروگاه سیکل ترکیبی شامل مجموع سوخت مصرفی واحدهای گازی تامین کننده انرژی بخار تولیدی واحد بخار است .

۵-۲. آنالیز و تعیین بازده انرژی و انرژی تجهیزات و سیکل نیروگاه

تعاریف متعددی برای بازده انرژی و انرژی تجهیزات سیکل ترمودینامیک نیروگاه ارائه شده است که از یک یا چند تعریف ، بر اساس نیاز استفاده می شود. در این بخش نحوه محاسبه این راندمان ها و کاربرد آنها برای تجهیزات سیکل ارائه می شود. روابط مورد نظر به منظور رعایت اختصار بر اساس ساختار سیکل نیروگاه بیان می شود.

تجهیزات موجود در بخش بخاری شامل بویلر بازیافت حرارت و مبدلهای موجود در آن، دیاربتور، پمپهای

کندانس و آب تغذیه و توربین بخار می باشد و تجهیزات واحد گازی شامل کمپرسور، محفظه

احتراق و توربین



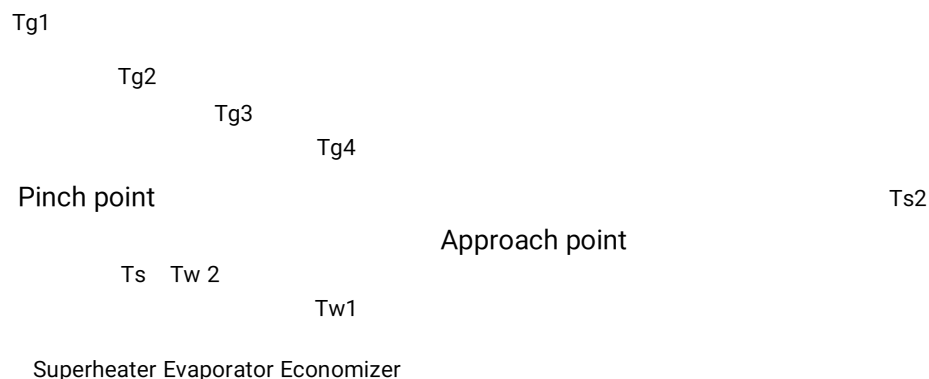
PowerEn.ir

گازي مي باشد.

۱-۵-۲. بررسی عملکرد مرکز تولید بخار

مبدلهای حرارتی وسایلی هستند که در آنها مبادله گرما بین سیال گرم و سیال سرد صورت می گیرد. از جمله مبدلهای حرارتی به کار رفته در مرکز تولید بخار نیروگاه سیکل ترکیبی دیاریتور و مبدلهای موجود در بویلر بازیافت حرارت شامل اکونومایزرها، تبخیرسازها و سوپرهیترها می باشند.

شمایی از پروفایل دمایی بویلر بازیافت حرارت در حالت کلی در شکل ۶-۲ ملاحظه می گردد [۱۸،۱۹].



شکل ۶-۲. شمایی از پروفایل دما در نقاط مختلف یک بویلر بازیافت حرارت

در واقع از آنجا که بویلر بازیافت حرارت شامل سه بخش اکونومایزر، اوپراتور و سوپرهیتر است، تعیین پارامترهایی نظیر pinch point و approach point ضرورت دارد. pinch point برابر با اختلاف دمایی گازهای خروجی از اوپراتور و بخار اشباع ($3Ts - Tg$) و approach point برابر با اختلاف دمایی آب ورودی به اوپراتور و بخار اشباع ($2Ts - Tw$) است. میزان این دو پارامتر بر سائز اکونومایزر، اوپراتور و سوپرهیتر تأثیرگذار است. معمولاً برای اجتناب از مشکلاتی نظیر لرزش و hammering در اکونومایزر، میزان approach point

بویلرهای بازیافت حرارت با دمای دود ورودی ۳۷۰ الی ۶۵۰ درجه سانتیگراد، حدود ۵ الی ۲۵ درجه سانتیگراد انتخاب می گردد. برای این بویلرها در صورت وجود فین ، معمولا pinch point مناسب نیز در محدوده ۵ تا ۱۷ درجه سانتیگراد است [۱۹].

معمولا برای بررسی عملکرد یک مبدل حرارتی از پارامتری به نام Effectiveness (ϵ) استفاده می شود که بیانگر میزان انتقال حرارت موجود بر مقدار ماکزیمم انتقال حرارت ممکن است . در واقع این فاکتور امکان مقایسه نرخ انتقال حرارت واقعی با مقدار ماکزیمم انتقال حرارت ممکن (از لحاظ بقای انرژی) که از لحاظ ترمودینامیکی دارای محدودیت است ، را فراهم می کند [۲۰].

$$\epsilon = \frac{Q}{Q_{\max}} \quad (26-2)$$

که Q گرمای مبادله شده بین سیالهای سرد و گرم است و عبارتست از:

$$Q = \dot{m}_{\text{Water}} (h_{\text{Water2}} - h_{\text{Water1}}) = \dot{m}_{\text{FuelGas}} (h_{\text{FuelGas2}} - h_{\text{FuelGas1}}) \quad (27-2)$$

و Q_{max} بیشترین انتقال حرارت ممکن در مبدل می باشد، که برابر با انتقال حرارتی است که یک سیال برای دستیابی به ماکزیمم اختلاف دمایی موجود در کل مبدل، مبادله می کند. ماکزیمم دمایی موجود در یک مبدل نیز اختلاف دمایی سیال گرم و سرد در ورودی مبدل است. برای برقراری قانون بقای انرژی، ماکزیمم حرارت تبادل یافته بر مبنای سیالی که دبی کمتری دارد محاسبه می گردد، زیرا در غیر اینصورت برای برقراری موازنه انرژی باید سیال با دبی کمتر، اختلاف دمایی بیش از مقدار ماکزیمم موجود در مبدل داشته باشد که امکانپذیر نیست [۲۱، ۲۰]. برای مبدلهای موجود در بویلر بازیافت حرارت و کل بویلر بازیافت حرارت، برابر است با:

$$Q_{\text{max}} = \dot{m}_{\text{min}} (h_{\text{min}(at T_{\text{min}})} - h_{\text{min}(at T_{\text{max}})}) \quad (28-2)$$

که \dot{m}_{min} کوچکترین \dot{m} بین \dot{m}_{Water} و \dot{m}_{FlueGas} در هر مبدل می باشد و T_{min} دمایی آب ورودی به هر مبدل و T_{max} دمایی گازهای احتراق ورودی به هر مبدل می باشد.

براساس استاندارد ۱-ASME PTC، Effectiveness، برای بویلرهای بازیافت حرارت و

مبدلهای موجود

در آنها برابر [۱۸]:

$$EF = \frac{\text{Actual enthalpy of the exhaust gas}}{\text{MPT enthalpy change of the exhaust gas}} \times 100\% \quad (26-2)$$

که در آن:

EF = Effectiveness, percent.

MTP = Maximum theoretically possible.

برای بویلر بازیافت حرارت موازنه انرژی به صورت زیر تعریف می شود:

انرژی خروجی = انرژی ورودی

$$\dot{m}_{\text{FlueGas}} h_{\text{FlueGas}} + \dot{m}_{\text{Water}} h_{\text{Water}} + \dot{m}_{\text{FlueGas}} h_{\text{FlueGas}} + \dot{m}_{\text{BlowDown}} h_{\text{BlowDown}} + \dot{m}_{\text{Steam}} h_{\text{Steam}} \quad (29-2)$$

راندمان بویلر به مفهوم نسبت انرژی مفید خروجی به کل انرژی ورودی می باشد. که از رابطه زیر محاسبه می گردد [۱۸،۲۲].

$$\eta = \frac{\text{Heat Absorbed by working fluids}}{\dot{m}_{\text{Heating gas turbine exhaust gas}} \Delta h_{\text{in}}} \times 100\%$$

که در این رابطه :
انرژی مفید خروجی ، انرژی داده شده به آب ورودی به بویلر بازیافت حرارت جهت تولید بخار است و از

1 . Heat Recovery Steam Generator

رابطه زیر محاسبه می گردد [۱،۲۲]:

(30-2)

$$h_{Feedwater} - m_{\&h_{Feedwater}} + m_{\&h_{IPsteam}} + h_{IPsteam} - m_{\&h_{HPsteam}} + h_{HPsteam} - m_{\&h_{Steam}} + h_{Steam}$$

که $m_{\&h_{Steam}}$ بیانگر دبی جرمی بخار آب تولیدی است و h_{Steam} و $h_{Feedwater}$ نیز انتالپی بخار آب تولیدی و آب ورودی به بویلر است که با توجه به شرایط ترمودینامیکی آب و بخار و با استفاده از جدول بخار قابل محاسبه است .

انرژی ورودی به بویلرهای بازیافت حرارت شامل انرژی دود خروجی از توربین های گازی و انرژی سوخت مصرفی (در صورت وجود مشعل کمکی) می باشد. برای محاسبه راندمان خالص لازم است انرژی الکتریکی و سایر حاملهای انرژی مورد استفاده به صورت سوخت معادل در نظر گرفته شوند. از آنجا که برای تولید هوای فشرده، آب صنعتی و آب دمین ، از انرژی الکتریکی استفاده می شود، می توان میزان مصرف هریک از انواع انرژی مذکور را به صورت انرژی الکتریکی معادل و سپس انرژی الکتریکی کل را به صورت سوخت معادل بیان کرد.

روش دیگر محاسبه راندمان براساس استاندارد ۱-ASME PTC-۴ ، محاسبه راندمان با روش غیر مستقیم است . در روش غیر مستقیم با محاسبه تلفات حرارتی در قسمتهای مختلف بویلر و کسر مقادیر بدست آمده از

۱۰۰٪ انرژی ورودی، میزان راندمان حرارتی بویلر بدست می آید، این روش مقطعی و دقیق است . روش مستقیم برای پایش مداوم بکار می رود، ولی نمی تواند علت تلفات را مشخص کند. برای محاسبه راندمان بویلر با استفاده از این روش لازم است تلفات دود، تلفات بدنه بویلر و بلودان و سایر تلفات نیز در نظر گرفته شود [۱۸].

$$\eta_{100\%} = \frac{Heat\ losses}{Heating\ turbine\ exhaust\ gas\ heat\ in} \times 100\%$$

(31-2)

برای بویلر بازیافت حرارت و مبدلهای موجود در آن بالانس انرژی به شکل زیر به دست می

آید [۱۴].

$$\text{بازگشت ناپذیری} + \text{انرژی خروجی} = \quad (32-2)$$

انرژی ورودی

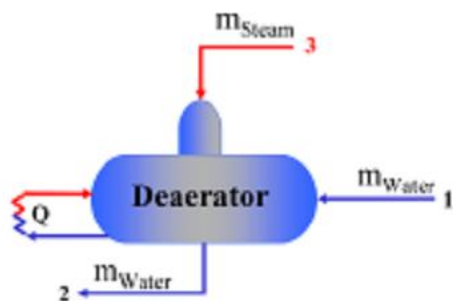
$$m\&Water\ Ex\ Water_1 + m\&FlueGas\ Ex\ FlueGas_1 + m\&Water\ Ex\ Water_2 + m\&FlueGas_2\ Ex\ FlueGas_2 + m\&BlowDown\ Ex\ BlowDown \quad |$$

راندمان انرژی (قانون دوم) برای بویلرهای بازیافت حرارت را به صورت زیر می توان نوشت [۱۴].

$$\frac{m\&Ex\ Steam - m\&Water}{m\&Ex\ Inlet\ Fuel\ Gas} \times 100\% \quad (33-2)$$

۲-۵-۲. بررسی عملکرد دیاریتور

دیاریتور یک مبدل حرارتی با اختلاط سیالهای گرم و سرد می باشد که با اضافه شدن بخار به آب درون دیاریتور علاوه بر بالا رفتن دمای آب درون آن، اکسیژن موجود در آب نیز خارج می شود. در شکل ۷-۲ شمایی موجود در نیروگاه سیکل ترکیبی نشان داده شده است.



شکل ۷-۲. شماتیک دیاریتورهای موجود در نیروگاه مورد بررسی

از دیاریتورهای موجود در نیروگاه سیکل ترکیبی نشان داده شده است .

شکل ۷-۲. شماتیک دیاریتورهای موجود در نیروگاه مورد بررسی

در این نیروگاه در حالت نرمال کاری با سوخت گازطبیعی در واحدهای گازی نیروگاه $= 0$ است و بخار لازم برای هوازداپی آب توسط تبخیر بخشی از آب دیاریتور با استفاده از m_{Steam}

انرژی دود در بویلر بازیافت حرارت و بازگرداندن بخار حاصل به دیاریتور و متعاقبا گرمایش آب موجود در دیاریتور صورت می پذیرد، ولی در صورت کاهش دمای دود توربینهای گازی به دلیل افت بار و در صورت استفاده از سوخت گازوئیل ، از مسیر بخار سوپرهیت فشار متوسط به سمت دیاریتور بخاری فرستاده می شود (m&Steam = 0). موازنه جرم در دیاریتور به صورت زیر می باشد.

$$m_{\text{Water}} \quad m_{\text{Steam}} \quad m_{\text{Water}}$$

(34-2)

2

1

موازنه انرژی برای دیاریتور به صورت زیر می باشد.

$$m_{\text{Water}1} \cdot h_{\text{Water}1} \quad m_{\text{Steam}} \cdot h_{\text{Steam}} \quad Q \quad m_{\text{Water}2} \cdot h_{\text{Water}2} \quad (35-$$

2)

$$) \quad m_{\text{Water}} \cdot h_{\text{Water}} \quad m_{\text{Water}} \cdot h_{\text{Water}} + \quad m_{\text{Steam}} \cdot h_{\text{Steam}} + \quad R_{\text{Recirculated}} \cdot \Delta E_{\text{Evaporation}}(atT$$

2 2 Deaerator

1

1

$$) \quad m_{\text{Water}} \quad m_{\text{Water}} \cdot h_{\text{Water}} + \quad m_{\text{Steam}} \cdot h_{\text{Steam}} + \quad R_{\text{Recirculation}} \cdot (h_{\text{SaturatedVapor}} - h_{\text{SaturatedLiquid}})(atT$$

.h_{Water}

2 2 Deaerator

1

1

موازنه انرژی برای دیاریتور به صورت زیر می باشد [۱۴].

(36-2)

$$m_{\text{Water}} \cdot Ex_{\text{Water}} \quad m_{\text{Steam}} \cdot Ex_{\text{Steam}} \quad m_{\text{Recirculation}} \cdot (Ex_{\text{SaturatedVapor}} - Ex_{\text{SaturatedLiquid}})(atT$$

)

Deaerator 1

$$| \quad m_{\text{Water}} \cdot Water \quad m_{\text{Water}} \cdot Water \quad |$$

2 2

m & Ex

1

1 . Vent

۲-۵-۳. بررسی عملکرد توربین بخار

توربین ها از اجزا اصلی سیکل هستند که کار مکانیکی تولید می کنند. انتظار می رود توربین بتواند تمام انرژی بخار ورودی را به کار تبدیل کند. لذا راندمان آن بر اساس نسبت توان تولیدی، به کل نرخ انرژی حرارتی بخار ورودی ($\sum E_i$)، تعریف می شود [۲]:

$$\eta_{th} = \frac{W}{\sum E_i} \quad (37-2)$$

که منظور از توان تولیدی W ، کل توان تولیدی شافت توربین شامل توان تولیدی ژنراتور، توان مصرفی پمپ روغن متصل به شافت توربین و تلفات مکانیکی و الکتریکی ژنراتور و توربین است.

در بررسی قانون اول ترمودینامیک، دو فرایند که حالت اولیه یکسان ولی حالت ثانویه متفاوتی دارند با هم مقایسه می شوند یعنی راندمان اول را به صورت نسبت کار واقعی w_a به کار ایزنتروپیک w_s به دست می آوریم [۲].

$$\eta = \frac{w_a}{w_s} = \frac{\sum e_i}{\sum e_i} \quad (38-2)$$

$$\eta = \frac{m \cdot h_1 - m \cdot h_2}{m \cdot h_1 - m \cdot h_{2s}}$$

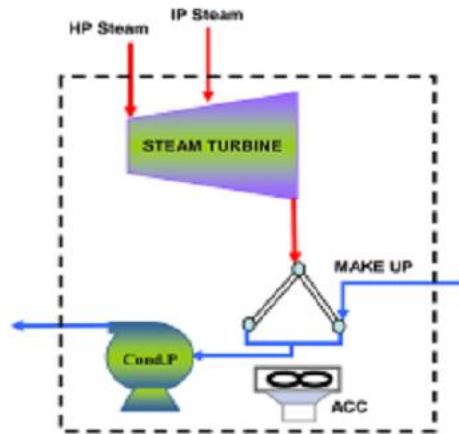
$$\frac{W}{WS}$$

با توجه به اینکه معمولا مغایرتهایی در فلومترهای بخار ورودی به توربوژنراتورها دیده می شود، میزان بخار ورودی به توربین از یک طرف بر اساس خروجیهای پمپهای آب تغذیه تعیین می گردد و از طرفی با مشخص بودن دبی کندانس و آب جبرانی سیستم، محاسبه می گردد. دبی خروجی از توربین از رابطه (۳۹-۲) محاسبه می گردد.

$$m_{\text{InletSteam}} - m_{\text{OutletSteam}} - m_{\text{CondensatePump}} - m_{\text{MakeUpWater}}$$

(39-2)

حجم کنترل انتخابی برای نوشتن موازنه جرم برای توربین بخار در شکل ۸-۲ نشان داده شده است



شکل ۸-۲. حجم کنترل انتخابی برای نوشتن موازنه جرم برای توربینهای بخار سیکل ترکیبی نیروگاه

حاضر

با داشتن اطلاعات ترمودینامیکی بخارهای ورودی و خروجی توربین و کار تولیدی توسط توربین می توان براساس موازنه انرژی توربین ، کیفیت بخار خروجی توربین را تعیین کرد.

رابطه موازنه انرژی توربین بصورت زیر می باشد [۱۷].

(40-2)

$$W_{\text{Turbine}} = \dot{m}_{\text{Inlet IP Steam}} h_{\text{Inlet IP Steam}} - \dot{m}_{\text{Discharge Steam}} h_{\text{Discharge Steam}}$$

با مشخص شدن کیفیت بخار خروجی از توربین کلیه اطلاعات ترمودینامیکی ورودی و خروجیهای توربینها مشخص شده که با این شرایط می توان راندمان توربین را محاسبه کرد. راندمان ایزنتروپیک توربین از رابطه زیر محاسبه می گردد [۱۷].

(41-2)

$$\eta_{\text{Turbine}} = \frac{\dot{m}_{\text{Inlet HP Steam}} h_{\text{Inlet HP Steam}} - \dot{m}_{\text{Discharge Steam}} h_{\text{Discharge Steam}}}{\dot{m}_{\text{Inlet HP Steam}} h_{\text{Inlet HP Steam}} - \dot{m}_{\text{Discharge Steam}} h_{\text{Isentropic Discharge Steam}}}$$

راندمان قانون دوم توربین را به صورت کار واقعی توربین به کار بازگشت پذیر تعریف می شود، یعنی دو فرایندی که حالت اولیه و ثانویه یکسانی دارند [۲۳].

$$\eta_{\text{Turbine}} = \frac{W}{W_{\text{Reversible}}} \quad (42-2)$$

$$\eta_{\text{Turbine}} = \frac{\sum \dot{m}_i (h_i - h_e)}{\sum \dot{m}_i (h_i - h_{e,s})} \quad (43-2)$$

البته در این رابطه باید توجه داشت که واحد wa با واحد مخرج هماهنگی داشته باشد.

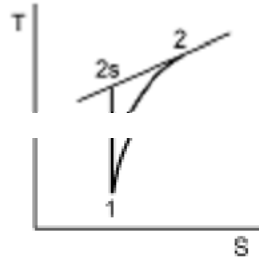
موازنه انرژی برای توربین به صورت زیر می باشد.

$$\dot{W}_a = \dot{m} \sum E_{x_i} - \dot{m} \sum E_{x_e} - \dot{W}_a \quad (44-2)$$

که در این رابطه w_a باید بر حسب وات یا ضرایبی از آن باشد.

۴-۵-۲. تحلیل عملکرد پمپ

در توربین سیال با فشار بالا وارد می شود و پس از انبساط با فشار کم خارج می شود ولی در پمپ برعکس است ، یعنی فشار سیال توسط پمپ افزایش می یابد. منحنی T-S پمپ در شکل ۹-۲ آورده شده است .



شکل ۹-۲. منحنی T-S پمپ

راندمان قانون اول پمپ به صورت نسبت کارایزنتروپیک (ws) به کار واقعی پمپ (wp) تعریف می شود [۱۵].

$$\eta_p = \frac{W_s}{W_p} = \frac{P_2 - P_1}{\rho g (h_2 - h_1)} \quad (45-2)$$

که در این رابطه ρ حجم موصول سیال ورودی است .

راندمان قانون دوم پمپ نیز به صورت نسبت کار بازگشت پذیر از ۱ به ۲ به کار واقعی پمپ تعریف می شود.

یعنی [۲۳]:

$$\eta_{II} = \frac{Ex_2 - Ex_1}{h_2 - h_1}$$

$$(46-2)$$

$$h_2 - h_1$$

برای محاسبه بازگشت ناپذیری در پمپ موازنه انرژی را به کار می بریم [۲۳]:

$$(47-2) \quad Ex_2 - Ex_1$$

$$Ex_1 - W_p$$

$$\Rightarrow W_p - (Ex_2 - Ex_1) = (h_2 - h_1) - (Ex_2 - Ex_1)$$

$$\Rightarrow W_p - (Ex_2 - Ex_1) = (h_2 - h_1) - (Ex_2 - Ex_1)$$

۵-۵-۲. بررسی عملکرد کمپرسور هوا

به منظور بررسی وضعیت فعلی کمپرسورهای واحد گازی نیروگاه براساس اطلاعات طراحی ، راندمان این ، کمپرسورها از دو روش راندمان دما ثابت و ایزنتروپیک محاسبه می گردد.

از آنجا که کمپرسور یک توربوماشین است عملکرد آن را می توان به صورت آدیاباتیک در نظر گرفت ، حالت ایده آل عملکرد کمپرسور، حالت ایزنتروپیک است . بنابراین برای بررسی عملکرد کمپرسور نسبت به شرایط ایده آل (ایزنتروپیک)، راندمان ایزنتروپیک کمپرسور به صورت زیر تعریف می گردد [۱۳]:

$$\eta_{is} = \frac{W_a}{W_s} \quad (2-48)$$

در رابطه مذکور W_s و W_a به ترتیب بیانگر کار محوری مورد نیاز کمپرسور در شرایط ایزنتروپیک و شرایط واقعی است .

از طرفی در مورد توربوماشین ها که انتقال حرارت سیال با محیط در مقایسه با کار انجام شده روی سیال قابل اغماض است ، W_s و W_a را می توان برابر با ΔH_s و ΔH_a که برابر با تغییر انتالپی سیال در شرایط

آیزنتروپیک و واقعي است ، در نظر گرفت و لذا :

$$H_1 - \Delta H_{2s} = H_{2a} - H_1 \quad (49-2) \quad \Delta a = \Delta s = 2s$$

راندمان آیزنتروپیک در کمپرسورها تا حد زيادي به نحوه طراحي و ساخت کمپرسور بستگي دارد. از آنجا که تغيير انتالپي برابر با حاصلضرب ظرفيت گرمائي و اختلاف دما است و ظرفيت گرمائي در حالت آیزنتروپیک و

واقعي را مي توان تقريبا ثابت و برابر در نظر گرفت ، η_c از رابطه ساده زير نيز قابل محاسبه است :

$$T_1 - T_{2a} = T_1 - T_{2s} \quad (50-2)$$

دماي هواي ورودي به کمپرسور و دماي هواي خروجي از کمپرسور است . از طرفي دماي آیزنتروپیک

هواي خروجي نيز از رابطه زير قابل محاسبه است :

$$T_{2s} = T_1 \left(\frac{P_2}{P_1} \right)^{\frac{\gamma-1}{\gamma}} \quad (51-2)$$

نسبت ظرفيت گرمائي در فشار ثابت به نسبت ظرفيت گرمائي در حجم ثابت و در مورد هوا برابر با ۴/۱ ،

۲P و ۱P فشار هواي ورودي و خروجي کمپرسور است [۱۷].

درصورتیکه کمپرسور آدياباتیک نباشد و گاز عبوري توسط یک سيستم خنک کننده در اطراف پوسته کمپرسور سرد شود بهتر است از بازده دما ثابت استفاده شود [۱۷و۱۳و۹]. از

آنجا که توان ایزوترمال یک کمپرسور حداقل توان لازم برای فشرده سازی هوا در شرایط ایزوترمال است ، می توان راندمان ایزوترمال کمپرسور را به صورت نسبت توان ایزوترمال به توان واقعی کمپرسور و طبق رابطه ۵۲-۲ تعریف نمود [۹].

$$\eta_{\text{isothermal}} = \frac{1}{Mw} RT_1 \ln(P_2/P_1) \quad (52-2)$$

Actual
Input Power

در این رابطه Mw جرم مولکولی هوا و R ثابت گازها است .

همانطور که قبلا اشاره شد، کمپرسور یک توربوماشین است و عملکرد واقعی آن را می توان به صورت

آدیاباتیک در نظر گرفت . لذا برای به دست آوردن توان مصرفی کمپرسور (Actual Input Power) W_a

می توان از رابطه زیر استفاده کرد [۱۳]:

$$P_a = \dot{m}_{\text{air}} (h_2 - h_1) \quad (53-2)$$

به منظور تعیین عملکرد یک تجهیز از جهت مصرف انرژی، عموماً انرژی مصرفی به ازاء واحد تولید آن تجهیز تعیین می گردد و شدت مصرف انرژی کمپرسور توان مورد نیاز برای فشرده کردن واحد حجم هوای ورودی

به کمپرسور در شرایط محیط است [۹].

آنالیز انرژی کمپرسور هوا:

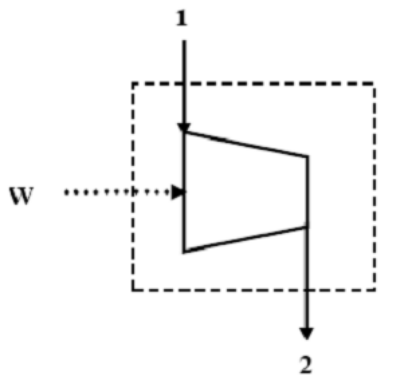
در شکل ۱۰-۲ شماتیک ساده ای از یک کمپرسور ملاحظه می گردد. عملکرد کمپرسور به صورت آدیاباتیک

در نظر گرفته می شود. در این حالت [۲۳]:

$$Q = 0 \quad (54-2)$$

$$w = h_2 - h_1$$

$$ex_2 - ex_1 = w_{ex} \quad (55-2)$$



شکل ۱۰-۲. شماتیک کمپرسور

در این فرآیند w_{ex} انرژی ورودی و $(ex_2 - ex_1)$ انرژی مفید خروجی است.

از آنجا که برای توان الکتریکی و مکانیکی مفاهیم انرژی و انرژی یکسان است، راندمان انرژی کمپرسور

برابر است با:

$$\eta = \frac{ex_2 - ex_1}{w_{ex}} = \frac{h_2 - h_1}{w_{ex}} \quad (56-2)$$

۱۰-۲-۶. تحلیل عملکرد توربین گازی

راندمان آیزنتروپیک توربین گازی به صورت نسبت توان توليدي در حالت واقعي به توان توليدي در حالت آیزنتروپیک و طبق رابطه ۲-۵۷ تعريف مي گردد [۱۷].

$$\eta_{is} = \frac{h_1 - h_{2s}}{h_1 - h_2} \quad (57-2)$$

و يا با فرض ثابت بودن ظرفيت گرمائي ویژه:

$$\eta_{is} = \frac{T_1 - T_{2s}}{T_1 - T_2} \quad (58-)$$

$$2) \quad \eta_{is} = \frac{T_1 - T_{2s}}{T_1 - T_2}$$

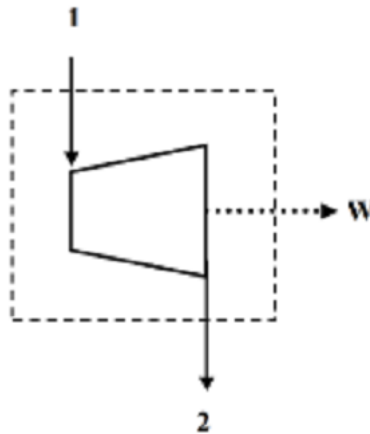
در اين رابطه T_1 دماي هواي ورودي به توربين گازی و T_{2s} دماي هواي خروجي از توربين گازی است . دماي

آیزنتروپیک هواي خروجي نیز طبق رابطه ۲-۵۱ قابل محاسبه است که در آن P_1 و P_2 فشار

هواي ورودي و

خروجی توربین گازی است .

شماتیک ساده ای از یک توربین گازی در شکل ۱۱-۲ ملاحظه می گردد.



شکل ۱۱-۲. شماتیک توربین گازی

در یک توربین گازی با فرض آدیباتیک بودن [۲۳]:

$$Q = 0$$

$$w = h_1 - h_2 \quad (59-2)$$

$$e_{x1} - e_{x2} = w_{ex} \quad (60-2)$$

در آنالیز انرژی توربین گازی، برعکس کمپرسور، w_{ex} انرژی مفید خروجی توربین گازی و

$$(1 - e_{x2})$$

انرژی ورودی آن، می باشد:

$$(61-2)$$

$$e_{x1} - e_{x2} = w_{ex} = w = h_1 - h_2 \quad (62-2)$$

$$e_{x1} = e_{x2}$$



PowerEn.ir

بنابراین :

$$\begin{matrix} h-h \\ \square \square \square \square_1 \quad \square_2 \\ ex_1 \quad ex_2 \end{matrix}$$

(63-2)

۳۴

فصل سوم: ارزیابی راندمان و آنالیز انرژی و انرژی نیروگاه سیکل ترکیبی مورد بررسی در گزارش

در این فصل از گزارش، راندمان و آنالیز انرژی و انرژی هر یک از تجهیزات واحدهای بخاری و گازی و نیز کل سیکل واحد گازی، بخاری و سیکل ترکیبی نیروگاه مورد بررسی، بر مبنای اطلاعات طراحی تجهیزات، ارزیابی

۲ و تحلیل می‌گردد. لازم به ذکر است کلیه محاسبات بر مبنای شرایط محل ۱ و سوخت گازی در بار پایه صورت می‌گیرد.

۱-۳. آنالیز انرژی و انرژی و تحلیل عملکرد توربین گازی

برای تحلیل عملکرد توربین از نقطه نظر انرژی، پارامترهایی از قبیل راندمان آیزنتروپیک و آیزوترمال توربین، راندمان انرژی توربین و شدت مصرف انرژی توربین محاسبه می‌گردد. اطلاعات طراحی مورد نیاز برای تحلیل عملکرد توربینهای گازی نیروگاه مورد نظر در شرایط دمایی هوای محیط ۳۱ درجه سانتیگراد و بار پایه در Error! Reference source not found. ارائه شده است.

۱-۱-۳. موازنه انرژی توربین گازی

با نوشتن موازنه انرژی برای توربین گازی می‌توان توان تولیدی توربین را تعیین کرد. لازم به ذکر است، در گزارش حاضر اطلاعات مربوط به انتالپی، انترپی و نیز انتالپی خروجی در حالت

آیزنتروپیک برای دود با استفاده از بانک اطلاعاتی نرم افزار Aspen Hysys ۲۰۰۴ و با در نظر گرفتن معادله حالت Robinson-Peng نسبت به دمایی مرجع ۲۵ درجه سانتیگراد ارائه شده است :

برای تعیین میزان دقیق انتالپی گازهای عبوری از توربین ، نیاز به داشتن آنالیز گازهای حاصل از احتراق می باشد، لذا می توان آنالیز گازهای خروجی محفظه احتراق را با توجه به آنالیز گاز طبیعی با فرض احتراق کامل سوخت ، در محفظه احتراق به دست آورد و سپس با استفاده از بانک اطلاعاتی نرم افزار Aspen Hysys انتالپی

1 . Site Condition(T=31°C)

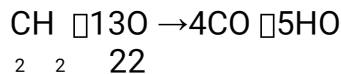
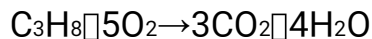
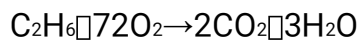
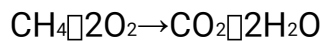
2 . Base Load

۳ - مرجع دما بر مبنای پیش فرض نرم افزار (دمای ۲۵ درجه سانتیگراد) است .
۴ . در توربینهای گازی به دلیل بالا بودن درصد هوای اضافی این فرض صحیح است .
۳۵

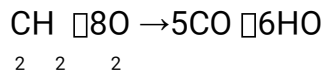


ورودي و خروجي توربين را به دست آورد.

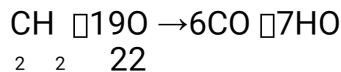
لازم به ذکر است ، آناليز گازهاي خروجي از دودکش توربين گازی GT ۳ در شرايط تست کارايي بويلرهاي بازيفت حرارت موجود مي باشد که در اين زمان توان توليدي اين واحد ۱۸۵/۱۱۲ مگاوات بوده است . واکنش هاي حاصل از احتراق کامل ترکيبات موجود در گازطبيعي به صورت زير مي باشد.



4 10



5 12



6 14

دبي مولي گاز طبيعي و هواي ورودي توربين گازی در شرايط طراحي برابر است با:

$$0.4405 \text{ Kg mole S} \quad \text{Kg S}$$

moles of Natural Gas:

$$8.057$$

$$18.29 \text{ Kg Kg mole}$$

$$365.28$$

$$12.62 \text{ Kg mole S} \quad \text{Kg S}$$
$$28.95 \text{ Kg Kg mole}$$

moles of air:

moles of air

$$28.64$$

moles of Natural Gas

انتالپی گازهای ورودی و خروجی توربینهای گازی بر مبنای آنالیز گازهای خروجی از محفظه

احتراق با فرض

احتراق کامل سوخت برابراست با:

$$\dot{m}_1 h_1 = 1235.3 \text{ Kj/Kg}$$

$$T_1 = 1085 \text{ C}$$

$$\dot{m}_1$$

$$P_1 = 12.75 \text{ bar}$$

$$\dot{m}_2 h_2 = 557.507 \text{ Kj/Kg}$$

$$T_2 = 28 \text{ C}$$

$$\dot{m}_2$$

$$P_2 = 903.57 \text{ mbar}$$



$$W = \dot{m} (h_1 - h_2) = 1 \text{ ton/Kg} \cdot 3600 \text{ h/Sec} \cdot (1235.3 - 557.507) \text{ KJ/Kg} = 253045 \text{ KW} \approx 253 \text{ MW}$$

W = 253045KW ≈ 253MW

۲-۱-۳. محاسبه راندمان آیزنتروپیک و آیزوترمال توربین گازی
راندمان آیزنتروپیک توربین گازی برابر است با:

$$\eta_{is} = \frac{W}{\dot{m} (h_1 - h_{2a})}$$

$$W = \dot{m} (h_1 - h_{2s})$$

$$\Rightarrow h_1 = 1235.3 \text{ KJ/Kg}, S_1 = 0.9815 \text{ KJ/(Kg} \cdot \text{C)}$$

$$T_1 = 1085 \text{ C}$$

$$P_1 = 12.75 \text{ bar}$$

$$\Rightarrow h_{2a} = 528 \text{ C}, S_{2a} = 1.1155 \text{ KJ/(Kg} \cdot \text{C)}$$

$$T_{2a}$$

$$P_2 = 903.57 \text{ mbar}$$

$$\Rightarrow T_{2s} = 440.5 \text{ C}, h_{2s} = 456.3 \text{ KJ/Kg}$$

$$S_2 = S_1 = 0.9815 \text{ KJ/(Kg} \cdot \text{C)}$$

$$P_2 = 903.57 \text{ mbar}$$

$$\eta_{is} = \frac{1235.3 - 557.4}{1235.3 - 456.3} = 100 \cdot 87.02\%$$

$$\eta_{is} =$$

البته راندمان آیزنتروپیک توربین گازی را با استفاده از رابطه ۲-۵۸ نیز می توان محاسبه کرد (البته در این حالت نیز نسبت ظرفیت گرمایی فشار ثابت به حجم ثابت برابر با ۴/۱) مقدار مربوط به هوا) در نظر گرفته می شود.

$$P_2 = P_1 \left(\frac{T_2}{T_1} \right)^{\frac{\gamma}{\gamma-1}}$$

$$0.904 = 12.75 \left(\frac{T_2}{1358.15} \right)^{\frac{1.4}{1.4-1}}$$

$$T_{2s} = 637.72K = 364.57C$$

$$T = 1085^{\circ}C = 1358.15K$$

$$\eta = \frac{1085 - 528}{1085 - 364.57} = 77.31\%$$

۳-۱-۳. آنالیز انرژی توربین گازی

انرژی مفید خروجی توربین گازی w_{ex} و انرژی ورودی آن، $1 - ex_2/ex_1$ می باشد و لذا:

$$w_{ex} = (h_1 - h_2) = 1235.3 - 557.507 = 677.8 \text{ KJ/Kg}$$

$$ex = (h - h_o) - T_o(s - s_o) \text{ ch}$$

با توجه به عدم وجود واکنش شیمیایی در توربین گازی:

$$ex_1 - ex_2 = (h_1 - h_2) - T_o(s_1 - s_2)$$

$$= 677.8 - 288.15(1.1155 - 1.1509) = 716.4 \text{ KJ/Kg}$$

راندمان انرژی توربین گازی نیز برابر است با:

$$\eta = \frac{w_{ex}}{ex_1 - ex_2} = \frac{677.8}{716.4} = 94.61\%$$

$$\eta = \frac{w_{ex}}{ex_1 - ex_2}$$

۳-۲. آنالیز انرژی و تحلیل عملکرد کمپرسور هوا

برای تحلیل عملکرد کمپرسور از نقطه نظر انرژی، پارامترهایی از قبیل راندمان

آیزنتروپیک و آیزوترمال

کمپرسور، راندمان انرژی کمپرسور و شدت مصرف انرژی کمپرسور هوا محاسبه می گردد.

اطلاعات طراحی مورد نیاز برای تحلیل عملکرد کمپرسور هوا در شرایط دمایی هوایی

محیط ۳۱ درجه سانتیگراد و بار پایه در Error! Reference source not found. ارائه شده است.

۳-۲-۱. موازنه انرژی کمپرسور هوا

حول محفوظه احتراق، انتالپي هواي ورودي به محفوظه احتراق (هواي خروجي از کمپرسور) تعيين

مي گردد.

لازم به ذکر است ، اطلاعات مربوط به انتالپي ، انتروپي و نیز انتالپي خروجي در حالت آيزنتروپيک براي هوا با استفاده از بانک اطلاعاتي نرم افزار Aspen Hysys ۲۰۰۴ و با در نظر گرفتن معادله حالت NRTL نسبت به دماي مرجع ۲۵ درجه سانتیگراد، ارائه شده است :

موازنه انرژي حول محفوظه احتراق به صورت زیر مي باشد:

$$m_{\text{air}} \cdot h_{\text{Inletair}} + m_{\text{Fuel}} \cdot LHV_{\text{Fuel}} = m_{\text{FlueGas}} \cdot h_{\text{FlueGas}}$$

$$h_{\text{FlueGas}} - h_{\text{Turbininlet}} = 1235.3 \text{Kj/Kg}$$

$$365.28 \text{Kg} \cdot h_{\text{Inleair}} \text{Kj/Sec} + 8.057 \text{Kg} \cdot 38962 \text{Kj/Sec} = 373.33 \text{Kg} \cdot 1235.3 \text{Kj/Sec}$$

$$h_{\text{Inleair}} = 403 \text{Kj/Kg}$$

در صورت فرض صحت دما و فشار تقريبي داده شده براي خروجي کمپرسور واحد گزي نیروگاه مورد نظر راندمان موازنه انرژي حول محفوظه احتراق برقرار نخواهد بود و انرژي خروجي از مجموع انرژي هاي ورودي بيشتري مي شود.

$$\begin{aligned} & \cong \dots \\ & \Rightarrow h_2 = 364.3 \text{Kj/Kg} \quad T_2 = 80\text{C} \\ & P_2 \cong 13 \text{mbar} \quad 12.75 \text{bar} \end{aligned}$$

$$(365.28 \text{Kg} \cdot 364.3 \text{Kj/Sec}) + (8.057 \text{Kg} \cdot 38962 \text{Kj/Sec}) < (373.33 \text{Kg} \cdot 1235.3 \text{Kj/Sec})$$

توان مصرفي کمپرسور هوا با نوشتن موازنه انرژي براي آن تعيين مي گردد.

$$W_c = \dot{m}_{air}(h_2 - h_1)$$

$$\dot{m}_{air} = \frac{Q}{h_1 - h_2} = \frac{5.947 \text{ Kj/Kg}}{5.947 \text{ Kj/Kg} - 403 \text{ Kj/Kg}}$$

$$T_1 = 31^\circ\text{C}$$

$$P_1 = 886.14 \text{ mbar}$$

$$h_2 = h_{inlet\ air\ to\ combustion\ chamber} = 403 \text{ Kj/Kg}$$

$$W_c = \dot{m}_{air}(h_2 - h_1) = 365.28 \text{ Kg} \cdot (403 - 5.947) \text{ Kj} = 145035 \text{ KW} = 145.03 \text{ MW}$$

Kg

Sec

۱ - مرجع دما بر مبنای پیش فرض نرم افزار (دماي ۲۵ درجه سانتیگراد) است .

۲-۲-۳. محاسبه راندمان آیزنتروپیک و ایزوترمال کمپرسور هوا

در صورت فرض صحت دما و فشار تقریبی داده شده برای خروجی کمپرسور واحد گازی نیروگاه حاضر راندمان آیزنتروپیک کمپرسور محاسبه می گردد.

$$T_1 = 293.15 \text{ K} \quad P_1 = 101.325 \text{ kPa}$$

$$T_2 = 377.73 \text{ K} \quad P_2 = 1300 \text{ kPa}$$

$$T_{2s} = 377.73 \text{ K} \quad P_2 = 1300 \text{ kPa}$$

$$T_1 = 304.15 \text{ K} \quad P_1 = 101.325 \text{ kPa}$$

$$T_2 = 377.73 \text{ K} \quad P_2 = 1300 \text{ kPa}$$

$$T_{2s} = 377.73 \text{ K} \quad P_2 = 1300 \text{ kPa}$$

$$\eta = \frac{T_2 - T_1}{T_{2s} - T_1} = \frac{377.73 - 304.15}{377.73 - 304.15} = 99.35\%$$

با توجه به بالا بودن راندمان به دست آمده، اطلاعات ترمودینامیکی خروجی کمپرسور دارای اشکال است و باید تا حد ممکن به واقعیت نزدیک شود.

با تصحیح دمای خروجی کمپرسور بر مبنای انتالپی به دست آمده از موازنه انرژی حول محفظه احتراق راندمان ایزنتروپیک به روش زیر محاسبه می شود.

$$T_2 = 416.3 \text{ C} \quad h_2 = 403 \text{ KJ/Kg2}$$

$$P_2 = 13 \text{ Kg/Cm}$$

377.73-31

100% 89.99% \cong
416.331

□□

,isentropic

براساس انتالپی تعیین شده برای خروجی کمپرسور براساس موازنه انرژی محفظه احتراق، راندمان آیزنتروپیک کمپرسور با استفاده از رابطه ۲-۴ نیز محاسبه می گردد.

$$h_1 \quad \Delta S = S_2 - S_1$$

$$h_{2a} - h_1 \quad \Delta a$$

°C T
1 31

$$\Rightarrow h_1 = 5.947 \text{Kj/Kg}, S_1 = 5.467 \text{Kj/(Kg.C)}$$

$$P_1 = 886.14 \text{mbar}$$

$$S_2 = S_1 = 5.467 \text{Kj/(Kg.C)} \Rightarrow T_{2s} = 370.8 \text{C}, h_{2s} = 354.5 \text{Kj/Kg}$$

$$P_2 \cong 13 \text{Kg/Cm}^2$$

354.5-5.947

100 87.78%
403-5.947

≅

راندمان آیزوترمال کمپرسور برابر است با :

$$\frac{C_{Isothermal}}{MwRT} \ln\left(\frac{P_2}{P_1}\right)$$

Actual Input

Power

$$\frac{8.314 \text{Kj/Kgmol.K} \times 304.15 \text{K} \times \ln(12.75/0.886)}{29 \text{Kg/Kgmol}} \times 100 = 58.54\%$$

C,Isothermal

با فرض آدیاباتیکی بودن کمپرسور، توان مورد نیاز آن از رابطه زیر محاسبه می گردد:

$$P_a = \dot{m}_{air}(h_2 - h_1)$$

$$\dot{m}_{air} = 365.28 \text{Kg/S}$$

$$P_a = 365.28 \frac{\text{Kg}}{\text{S}} \times (403 - 5.947) \frac{\text{Kj}}{\text{Kg}} = 145035 \text{KW} = 145.03 \text{MW}$$

Kg
S

۳-۲-۳. محاسبه شدت مصرف انرژی کمپرسور هوا

شدت مصرف انرژی کمپرسور که توان مورد نیاز برای فشرده کردن واحد حجم هوای ورودی

به کمپرسور

است ، برابر است با:

$$\text{شدت مصرف انرژی کمپرسور} = \frac{145.03 \text{ KW}}{365.28 \text{Kg/Sec}} = 0.397 \text{ KW/Kg} = 397 \text{ KW/MW}$$

$$(365.28 \text{Kg/Sec}) \times (1.014 \text{Kg/m}^3) = 370.5 \text{ MW}$$

$$\frac{402.6 \text{Kj/m}^3}{1000} = 0.4026 \text{ MW}$$

۳-۲-۴. آنالیز اگزرژی کمپرسور هوا

اگزرژی ورودی و اگزرژی مفید خروجی در فرآیند فشرده سازی هوا برابر است با:

$$w_{ex} = h_2 - h_1 = 403 - 5.947 = 397.05 \text{ Kj/Kg}$$

$$ex = (h - h_o) - T_o(s - s_o) = ex^{ch}$$

با توجه به عدم وجود واکنش شیمیایی در فرآیند فشرده سازی هوا $ex^{ch} = 0$ و اختلاف اگزرژی ورودی و

خروجی برابر است با:

$$ex_2 - ex_1 = (h_2 - h_1) - T_o(s_2 - s_1)$$

$$T = 31^{\circ}\text{C}$$

$$P_1 =$$

$$h_1 = 5.947 \text{Kj/Kg}, S_1 = 5.467 \text{Kj/(Kg.C)}$$

$$P =$$

$$T_2 = 416.3^{\circ}\text{C},$$

$$P_2 = 403 / 2$$

$$S_2 = 5.541 \text{Kj/(Kg.C)}$$

$$h_2 =$$

$$P_2 \cong 13 \text{Kg/Cm}^2$$

$$ex_2 - ex_1 = (403 - 5.947) - 298.15 \ln \frac{5.541 - 5.467}{5.947} = 374.99 \text{Kj/Kg}$$

راندمان اگزرتیک کمپرسور نیز به صورت زیر محاسبه می گردد.

$$ex_2 - ex_1 =$$

$$\eta = \frac{374.99}{397.05} = 94.44\%$$

$$ex_2 - ex_1$$

$$397.05$$

$$we_x$$

۳-۳. آنالیز انرژی و اگزرتیک نیروگاه گازی

در این قسمت از گزارش، پارامترهایی از قبیل راندمان و Heat Rate برای واحد گازی نیروگاه سیکل ترکیبی براساس اطلاعات طراحی، محاسبه شده و موازنه انرژی و اگزرتیک واحد گازی انجام گرفته است.

اطلاعات طراحی مورد نیاز برای تحلیل عملکرد واحد گازی نیروگاه مورد بررسی در گزارش در شرایط دمایی هوای محیط ۳۱ درجه سانتیگراد و بار پایه در . Error! Reference source not found ارائه شده است.



۱-۳-۳. محاسبه راندمان و Heat Rate واحد گازی نیروگاه مورد نظر

راندمان واحدهای گازی نیروگاه سیکل ترکیبی در این نیروگاه برابر است با:

$$\frac{\text{PowerProduction}}{\text{EnergyInput}} = \frac{100600}{8.057 \text{Kg/S} \times 38962 \text{Kj/Kg}} = 32.05\%$$

در مدارک طراحی نیروگاه نیز راندمان واحدهای گازی نیروگاه در شرایط دمایی محیط ۳۱ درجه سانتیگراد برابر با ۰۵/۳۲٪ ذکر شده است.

Heat Rate نیروگاه نیز به صورت زیر قابل محاسبه است:

$$\text{Heatrate} = \frac{10646.3 \text{BTU}}{0.3205 \text{KWh}} = 3412.14 \text{BTU/KWh}$$

$$\text{Heatrate} = \frac{2682.81 \text{Kcal}}{0.3205 \text{KWh}} = 859.84 \text{Kcal/KWh}$$

۲-۳-۳. محاسبه راندمان اگزرژی واحد گازی نیروگاه حاضر

راندمان اگزرژی واحد گازی نیروگاه حاضر که نسبت اگزرژی خروجی به نسبت اگزرژی ورودی

نیروگاه گازی

است ، به صورت زیر محاسبه می گردد:

$$\eta_{\text{a}} = \frac{\text{Produced Power}}{E_{\text{fuel}}}$$

$$E_{\text{fuel}} = \sum_i m_i [(h - h_o) - T_o (s - s_o)]$$

برای سوخت اگزرژی ترمومکانیکی در مقابل اگزرژی شیمیایی قابل اغماض است و می توان

از آن صرف نظر

کرد.

$$E_{\text{fuel}} = \sum_i m_i (h_i - h_o)$$

اطلاعات مربوط به اگزرژی شیمیایی سوخت گاز طبیعی مورد استفاده در واحد گازی

نیروگاه حاضر در شرایط طراحی بررسی شد و ملاحظه شد که اگزرژی سوخت برابر با ۸۷۴۸۷۰

کیلو ژول بر کیلوگرم مول است .

$$E_{\text{fuel}} = 874870 \text{ KJ/Kgmole}$$

$$E_{\text{fuel}} = 0.057 \text{ Kgs}$$

$$385392.4 \text{ KW} = 385.39 \text{ MW}$$

$$18.29 \text{ Kg/Kgmole}$$

$$100.6$$

$$\eta_{\text{a}} = 26.1\%$$

$$\eta_{\text{a}} =$$

۳-۳-۳. موازنه انرژی واحد گازی نیروگاه مورد نظر (Sankey Diagram)

جریانهای انرژی ورودی و خروجی در بخشهای مختلف نیروگاه گازی را می توان به صورت زیر

مشخص کرد:

انرژی سوخت ورودی:

$$\text{Inlet fuel energy} = \dot{m}_{\text{fuel}} \text{LHV}_{\text{fuel}} = 8.057 \text{Kg/S} \times 38962 \text{Kj/Kg} = 313.92 \text{MW}$$

انرژی هوای ورودی به کمپرسور:

با توجه به اینکه دمای هوای ورودی به کمپرسور ۳۱ درجه سانتیگراد است ، انتالپی این جریان

برابر است با:

$$\text{Inlet air to compressor energy} = 365.28 \text{(Kg/Sec)} \times 403 \text{Kj/Kg} = 147.2 \text{MW}$$

انرژی هوای خروجی کمپرسور:

$$\text{Outlet air from compressor energy} = 365.28 \text{(Kg/S)} \times 403 \text{(Kj/Kg)} = 147.2 \text{MW}$$

1

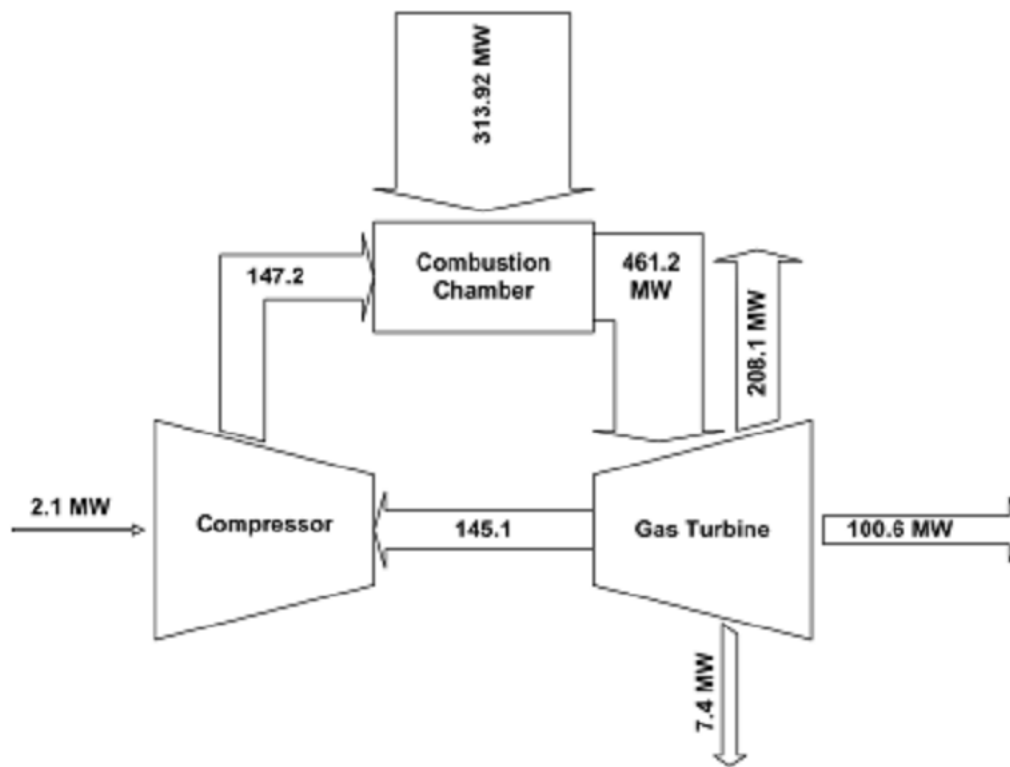
انرژی گازهای ورودی توربین گازی :

۱ . مرجع انتالپی ، انتالپی حالت ایده آل گاز خروجی محفظه احتراق در دمای ۲۵ درجه سانتیگراد و فشار ۱ اتمسفر است .

Inlet fluegastoturbine energy $\square 373.33(\text{Kg/S}) \square 1235.3(\text{Kj/Kg}) \square 461.2\text{MW}$

انرژی گازهای خروجی توربین گازی:

Outlet fluegas from gasturbine energy $\square 373.33(\text{Kg/S}) \square 557.4(\text{Kj/Kg}) \square 208.1\text{MW}$



شکل ۱-۳. دیاگرام جریانهای انرژی واحد گازی نیروگاه حاضر در شرایط طراحی

۴-۳-۳. تحلیل ترمودینامیکی نیروگاه گازی

در شکل ۲-۳ سیکل ایده‌آل برای تون با منحنی ممتد و سیکل واقعی توربین گازی توسط خط چین مشخص شده است. چنانچه ملاحظه می‌گردد در سیکل واقعی فرآیندهای فشرده‌سازی در کمپرسور و انبساط در توربین گازی آیزنتروپیک نیست، بعلاوه افت فشار در محفظه

احتراق نیز در در نظر گرفته شده است . در حالیکه دبی و ترکیب درصد گازهای احتراق برای ترسیم سیکل در حالت واقعی نیز ثابت فرض می شود.

$$\eta_{th} = 1 - \frac{T_2}{T_3}$$

برای سیکل برایتون با توجه به محاسبات صورت گرفته :

$$T_1 - T_2 = T_3 - T_4$$



PowerEn.ir

$$P = 12.75 \times 10^3 \text{ W}$$

$$T_{2s} = 0.886 \text{ P1} \cong ()_{1.4} \times 2.14$$

T

T1

$$T_{2s} = 650.88 \text{ K}$$

$$= 377.73 \text{ C}$$

⇒

$$T = 31 \text{ }^\circ\text{C} = 304.15 \text{ K}$$

-1

$$T_{4s} = 12.75 \text{ P3} \times (0.904)_{1.14, 41} = 0.4696$$

□□□□□

T3

$$\Rightarrow T_{4s} = 637.72 \text{ K} = 364.57 \text{ C}$$

$$T = 1085 \text{ }^\circ\text{C} = 1358.15 \text{ K}$$

$$1 - 364.5731 = 52.84\%$$

$$1085 - 377.73$$

برای سیکل گازی واقعی :

$$1 - 52831 = 25.7\%$$

$$1085 - 416.3$$

شکل ۲-۳. مقایسه سیکل واحد گازی نیروگاه حاضر در شرایط طراحی با سیکل ایده آل برایتون

ملاحظه می‌گردد که راندمان سیکل گازی برابر با ۷/۲۵٪ است، در حالیکه راندمان سیکل

برایتون برابر با

۸۴/۵۲٪ است. در واقع وجود برگشت ناپذیری در کمپرسور و توربین گازی که بخشی از آن اجتناب ناپذیر است، باعث کاهش شدید راندمان سیکل نیروگاه گازی نسبت به سیکل ایده آل برایتون می‌گردد.

۵-۳-۳. موازنه انرژی واحد گازی نیروگاه مورد نظر (Grassmann Diagram)

انواع جریانهای انرژی ورودی و خروجی در بخشهای مختلف نیروگاه گازی را می توان

به صورت زیر

مشخص کرد:

انرژی سوخت ورودی:

$$ex_{fuel} \cong ex_{chfuel} \approx 47833.24 \text{Kj/Kg}$$

$$Inletfuelenergy \approx \dot{m}_{fuel} ex_{fuel} \approx 8.057 \text{Kg} \cdot 47833.24 \text{Kj} \approx 385.4 \text{MW}$$

Kg

Sec

انرژی هوای ورودی به کمپرسور:

لازم به ذکر است که با توجه به وجود واکنش شیمیایی در سیستم موجود لازم است انرژی

شیمیایی هوای ورودی نیز در محاسبات در نظر گرفته شود.

$$ex_{acihrin} \approx 0.21 \cdot 3970 + 0.79 \cdot 720 = 1402.5 \text{Kj/Kgmole} \approx 48.63 \text{Kj/Kg}$$

$$ex_{air,in} \approx 5.947 - 298.15 \cdot (5.467 - 5.409) + 48.63 = 37.28 \text{Kj/Kg}$$

$$Inletairtocompressorexergy \approx 365.28 \text{Kg/S} \cdot 37.28 \text{Kj/Kg} \approx 13.62 \text{MW}$$

انرژی هوای خروجی کمپرسور:

$$ex_{airout} \approx 403 - 298.15 \cdot (5.541 - 5.409) + 48.63 = 412.27 \text{Kj/Kg}$$

$$Outletairfromcompressorexergy \approx 365.28 \text{Kg/S} \cdot 412.27 \text{Kj/Kg} \approx 150.59 \text{MW}$$

انرژی گازهای ورودی توربین گازی :

پتانسیل شیمیایی گازهای دودکش توربینهای گازی نیروگاه مورد نظر در شرایط طراحی نیز برابر با ۲۶۰۳ کیلو ژول بر کیلوگرم مول تعیین شد.

$$e_{x, \text{cf}, \text{fluegasout}} = 260291.5 \text{Kj/Kgmole} = 28.44 \text{ Kg} \approx 91.52 \text{Kj/Kg}$$

Kgmole

$$e_{x, \text{fluegasin}} = 1235.3 - 298.15 = 0.9815 = 91.52 = 1034.18 \text{Kj/Kg}$$

$$\text{Inletfluegastogasturbineexergy} = 373.33 \text{Kg/S} = 1034.18 \text{Kj/Kg} = 386.09 \text{MW}$$

اگرزنی گازهای خروجی توربین گازی :

$$e_{x, \text{fluegasout}} = 557.4 - 298.15 = 1.1155 = 91.52 = 316.33 \text{Kj/Kg}$$



Outlet flue gas from gas turbine energy $\dot{m} = 373.33 \text{ Kg/S}$ $h = 316.33 \text{ Kj/Kg}$ $\dot{Q} = 118.1 \text{ MW}$

تلفات انرژی از دست رفته محفظه احتراق:

Exergy losses from combustion chamber $\dot{Q} = (150.59 - 385.4) - 386.09 = 149.9 \text{ MW}$

چنانچه ملاحظه می گردد تلفات انرژی از دست رفته محفظه احتراق قابل ملاحظه و حدود ۲۸ درصد انرژی ورودی محفظه احتراق است .

تلفات انرژی از دست رفته کمپرسور هوا:

Exergy losses from compressor $\dot{Q} = (145.1 - 13.62) - 150.59 = 8.13 \text{ MW}$

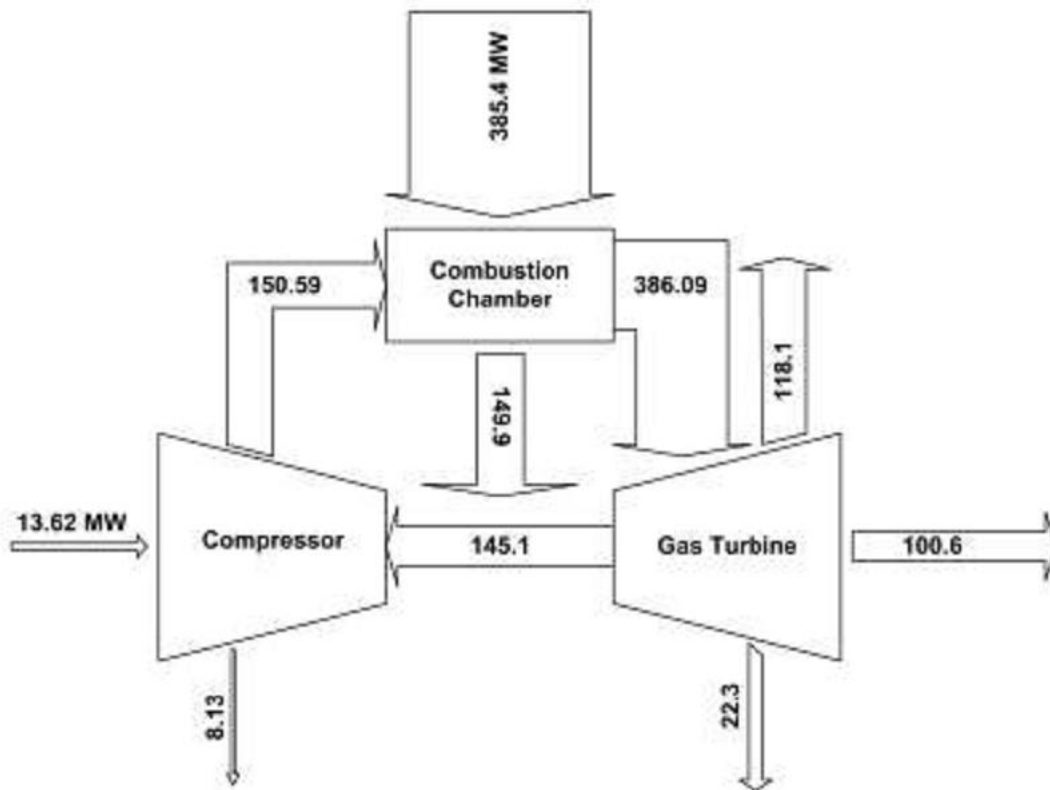
تلفات انرژی از دست رفته توربین گازی :

Exergy losses of flue gas from gas turbine $\dot{Q} = 118.1 \text{ MW}$

Exergy losses from gas turbine $\dot{Q} = 386.09 - 100.6 = 285.49 \text{ MW}$

Exergy losses from gas turbine (except flue gas) $\dot{Q} = 386.09 - (100.6 + 118.1 + 145.1) = 22.3 \text{ MW}$

نمودار جریانهای انرژی از دست رفته مطابق شکل ۳-۳ خواهد بود.



شکل ۳-۳. دیاگرام جریانهای انرژی واحد گازی نیروگاه حاضر در شرایط طراحی

۴-۳. آنالیز انرژی و انرژی و تحلیل عملکرد مرکز تولید بخار

برای بررسی عملکرد مرکز تولید بخار بر مبنای شرایط محل و سوخت گاز طبیعی در بار پایه در ابتدا پروفایل دما در بخشهای مختلف بویلر بازیافت حرارت تعیین گردیده است. بر اساس اطلاعات ترمودینامیکی سیکل تولید بخار در شرایط بار پایه و دمای ۳۱ درجه سانتیگراد، با انجام موازنه انرژی در مبدلهای موجود در مرکز تولید بخار، دمای دود در نقاط مختلف بویلر بازیافت حرارت مشخص می شود. اطلاعات ترمودینامیکی سیکل تولید بخار در شرایط بار پایه در شکل ۴-۳ ارائه شده است. لازم به ذکر است مرجع انتالپی و انتروپی برای آب و بخار نقطه سه گانه آب می باشد و مرجع انتالپی و انتروپی دود در واحد بخار براساس استاندارد ASME -۲ PTC ۴ دمای محیط و فشار اتمسفر در نظر گرفته شده است.

۴-۳-۱. آنالیز انرژی و انرژی و تحلیل عملکرد دیاریتور

اطلاعات مورد نیاز برای موازنه انرژی و انرژی دیاریتور در شرایط بار ۹۸۲۰۰ کیلووات برای توربوژنراتور واحد بخار و دمای محیط ۳۱ درجه سانتیگراد در جدول ۳-۱ آمده است.

جدول ۳-۱. شرایط ترمودینامیکی جریانهای ورودی و خروجی دیاریتور در بار پایه و دمای ۳۱°C

نام جریان	انتالپی فشار دما دبی	انتروپی (SEvap) $\Delta h - T_0$	Kg/S	°C				
آب ورودی	۵۶/۱۳	۱۲۳	۱۶/۲	۵۱۷/۵	۱/۵۶	۹۱/۴۲	-	-
آب خروجی	۵۶/۱۳	۱۳۹/۸	۳/۶	۵۸۸/۵	۱/۷۳۷۷	۱۱۳/۸۶	-	-
مسیر ری	5.184	-	-	140.3	3.6	-	-	2143.3
سیرکوله	-	-	-	-	-	-	-	8

موازنه جرم دیاریتور:

$$\dot{m}_{Water2} = \dot{m}_{Steam} + \dot{m}_{Water1}$$

$$56.13 \text{ Kg} = 0 + 56.13 \text{ Kg}$$

Sec

1

Sec

موازنه انرژی دیاریتور:

$$\dot{m}_{Water2} \cdot h_{Water2} + \dot{m}_{Water1} \cdot h_{Water1} + \dot{m}_{Steam} \cdot h_{Steam} + \dot{m}_{Recirculation} \cdot (\Delta h_{Evaporation})$$

$$56.13 \text{ Kg} \cdot 517.53 \text{ Kj} + 0 \cdot \dot{m}_{Recirculation} \text{ Kg} \cdot 2143.38 \text{ Kj} + 56.13 \text{ Kg} \cdot 588.51 \text{ Kj}$$

Kg Sec Kg Sec Kg Sec

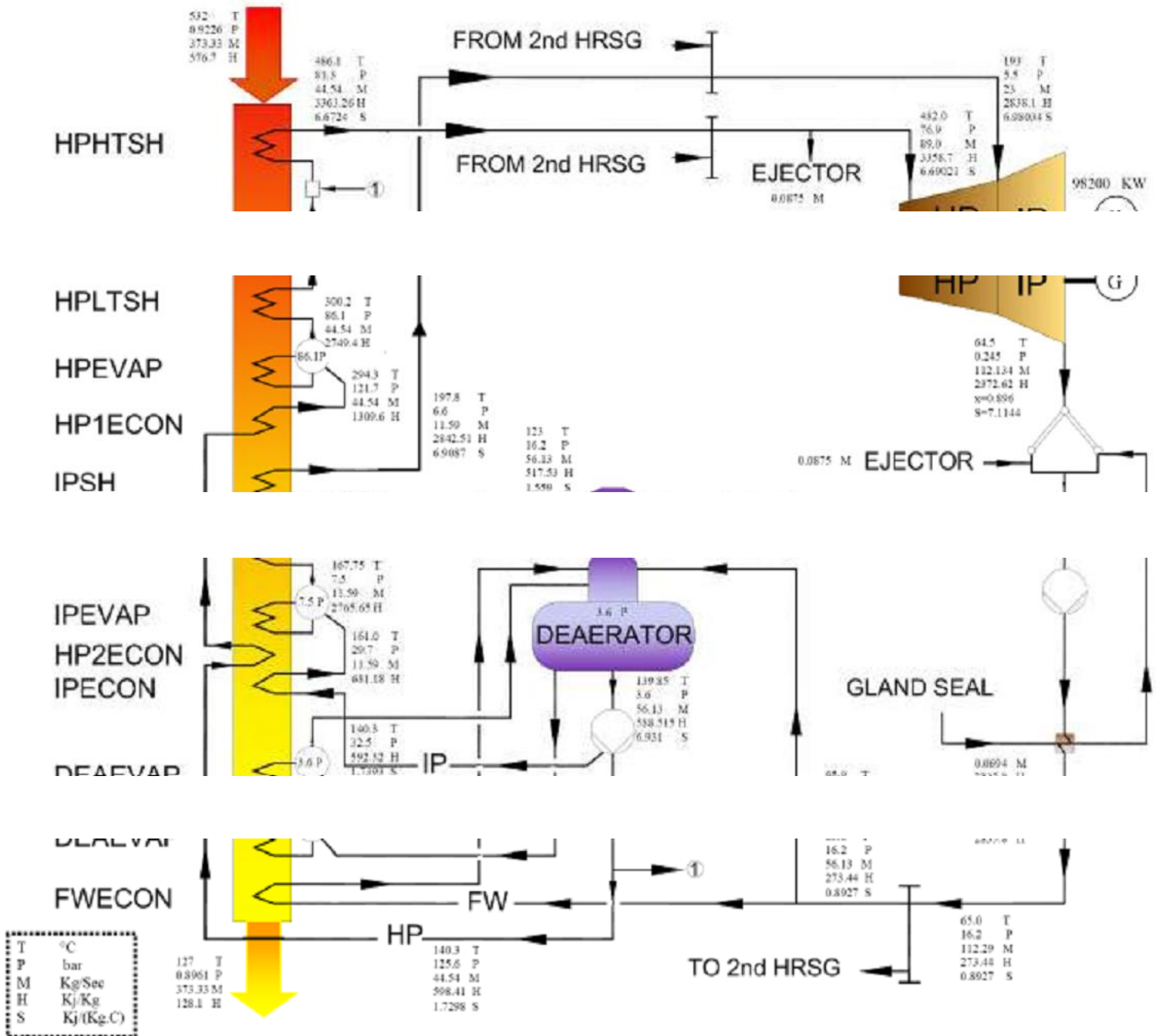
1

Sec

$$\Rightarrow \dot{m}_{Recirculation} = 1.86 \text{ Kg}$$

Sec

۴۸



شکل ۳-۴. اطلاعات ترمودینامیکی سیکل تولید بخار در دمای ۳۱ درجه سانتیگراد



PowerEn.ir



PowerEn.ir

HPSH	44.54	3363.26	2749.4	27341.32	27432.84	576.7	502.92	467.9
HPEVAP	44.54	2749.4	1309.6	64128.69	64343.34	503.26	330.21	314.4
HPECON	44.54	1309.6	598.411	31676.36	31782.39	331.02	245.54	236.7
IPSH	11.59	2842.51	2765.65	890.81	893.79	245.9	243.50	234.5
IPEVAP	11.59	2765.65	681.18	24159.01	24239.87	243.5	178.31	174.3
IPECON	11.59	681.18	592.32	1029.89	1033.33	178.6	175.82	171.7
DEAEVAP	1.86	2733.83	588.515	3990.29	4003.64	175.8	164.79	161.4
FWECON	56.13	517.53	273.44	13700.77	13746.63	164.8	127.83	127.0
Q _{FlueGas}	□	167475.84	Q _{Water→team}	=□	66917.1			

TOTAL

◊◊



PowerEn.ir

*. درصد تلفات دود(%)=۰,۳۳(۱۶۶۹۱۷,۱-۱۶۷۴۷۵,۸۴) در تبدیل $Q_{Water} \rightarrow Steam$ به $Q_{FlueGas}$ در تمام مراحل

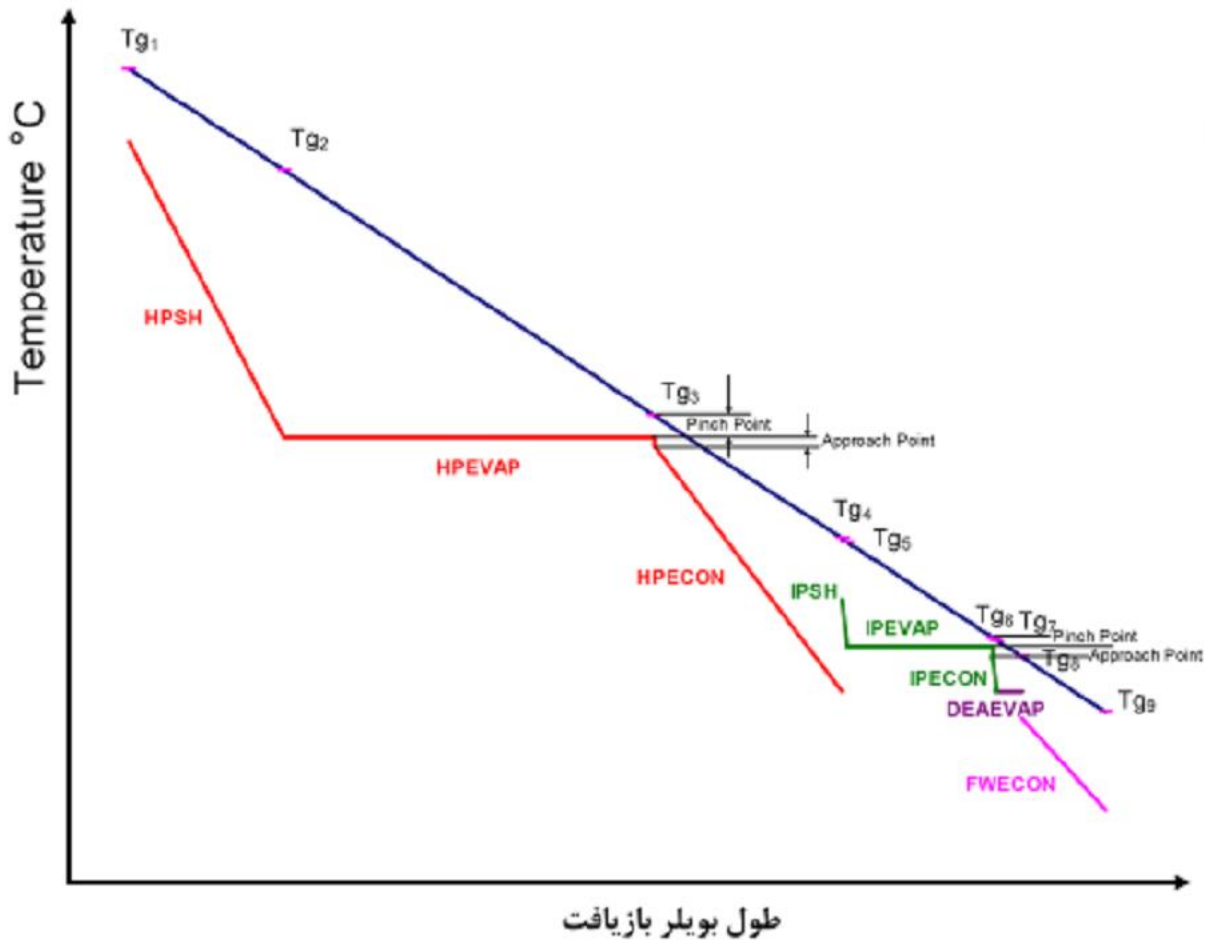
در نظر

167475.84

گرفته شده است .

پروفایل دمایی بویلر بازیافت حرارت براساس نتایج موازنه جرم انجام گرفته برای بویلر بازیافت حرارت در نیروگاه حاضر در شرایط دمایی محیط ۳۱ درجه سانتیگراد و بار تولیدی توربوژنراتور واحد بخار برابر ۹۸۲۰۰ کیلووات در شکل ۳-۵ ملاحظه می گردد.

۶۸۲۰۰ دیلووات در شکل ۵-۲ ملاحظه می گردد.



شکل ۵-۳. شمایی از پروفایل دما در نقاط مختلف بویلر بازیافت حرارت نیروگاه حاضر در شرایط طراحی با بار پایه و دمای ۳۱°C

$$\text{HP Pinch Point} = T_{g3} - T_s = 314.4 - 300.2 = 14.2^\circ\text{C}$$

$$\text{HP Approach Point} = T_s - T_{2\text{Eco}} = 300.2 - 294.3 = 5.9^\circ\text{C}$$

$$\text{IP Pinch Point} = 174.3 - 167.5 = 6.55^\circ\text{C}$$

$$\text{IP Approach Point} = 167.75 - 161 = 6.75^\circ\text{C}$$



PowerEn.ir

همانگونه که در فصل دوم اشاره شد میزان مناسب Approach Point در بویلرهای بازیافت
حرارت با دمایی

۵۱

دود ورودی ۳۷۰ الی ۶۵۰ درجه سانتیگراد، حدود ۵ الی ۲۵ درجه سانتیگراد و میزان مناسب Pinch Point در صورت وجود فین در محدوده ۵ تا ۱۷ درجه سانتیگراد است [۲۰،۲۱].

با مقایسه مقادیر Pinch Point و Approach Point به دست آمده برای مسیرهای فشار متوسط و فشارقوی بویلرهای بازیافت نیروگاه حاضر با مقادیر مناسب، شرایط طراحی بویلرهای بازیافت حرارت نیروگاه حاضر مناسب ارزیابی گردید.
محاسبه Effectiveness (ε) بویلر بازیافت حرارت

$$\epsilon = \frac{Q}{Q_{max}}$$

که Q گرمای مبادله شده بین آب و گازهای داغ ورودی به بویلر بازیافت حرارتست و عبارتست از:

$$Q = m_{IP} \Delta h_{IPSH} - m_{HP} \Delta h_{HPSH} - m_{FW} \Delta h_{FW}$$

$$Q = 11.59 \text{Kg} \cdot 2842.51 \text{Kj} - 44.54 \text{Kg} \cdot 3363.26 \text{Kj} - 56.13 \text{Kg} \cdot 273.44 \text{Kj}$$

Kg Sec Kg Sec Kg Sec

$$Q = 167396.1 \text{Kj} / \text{Sec}$$

9

$$Q_{max} = m_{min} (h_{min(atT_{max})} - h_{min(atT_{min})})$$

که m_{min} کوچکترین m بین $m_{FlueGas}$ و m_{Water} در هر مبدل می باشد و T_{min} دمایی آب ورودی به هر مبدل و T_{max} دمایی گازهای احتراق ورودی به هر مبدل می باشد.

$$Q_{max} = (m_{HP} \Delta h_{HP(atT_{g3})} - m_{IP} \Delta h_{IP(atT_{g1})}) - m_{FW} \Delta h_{FW}$$

که در آن:

□□□□

$$81.3 \text{bar} \Rightarrow h_{IP(atT)} \quad \square\square\square\square \text{Hp}$$

$$3476.71 \text{Kj} / \text{Kg} \quad \square\square\square P_{IP} \quad 6.6 \text{bar} \Rightarrow h_{HP(atT)} \quad 3090.56 \text{Kj} / \text{Kg}$$

Kg g3 314.40c □□□ Kg g1 5320c □□



PowerEn.ir

g3□

g1=

$Q_{max} \square (44.54Kg \square 3476.71Kj \square 11.59Kg \square 3090.56Kj) - 56.13Kg \square 273.44Kj$
Kg Sec Kg Sec Kg Sec

$Q_{max} \ 175324.07SKejc$

167396.1

$\square\square 0.9548$
175324.07

$\Rightarrow \square \in \square$

۵۲

۳-۴-۴. محاسبه راندمان بویلر

راندمان بویلر به مفهوم نسبت انرژی مفید خروجی به کل انرژی ورودی می باشد. که از رابطه زیر محاسبه می گردد.

$$\eta = \frac{\text{Heat absorbed by working fluids}}{\text{Heating turbine exhaust gas} + \text{heat in}} \times 100\%$$

که در این رابطه :

انرژی مفید خروجی ، انرژی داده شده به آب ورودی به بویلر بازیافت حرارت جهت تولید بخار است .

$$\text{Heat absorbed by working fluids} = \dot{m}_{\text{IP}} \cdot h_{\text{IPSH}} - \dot{m}_{\text{HP}} \cdot h_{\text{HPSH}} - \dot{m}_{\text{FW}} \cdot h_{\text{FW}}$$

$$\text{Heat absorbed by working fluids} = 11.59 \cdot 2842.51 - 44.54 \cdot 3363.26 - 56.13 \cdot 273.44$$

$$\frac{\text{Kj}}{\text{Sec}} = 167396.1$$

که \dot{m}_{Steam} بیانگر دبی جرمی بخار آب تولیدی است و h_{Steam} و $h_{\text{Feedwater}}$ نیز انتالپی بخار آب تولیدی و آب ورودی به بویلر است که با توجه به شرایط ترمودینامیکی آب و بخار و با استفاده از جدول بخار قابل محاسبه است .

انرژی ورودی به بویلرهای بازیافت حرارت نیروگاه حاضر شامل انرژی دود خروجی از توربین های گازی می باشد.

$$\text{Heating turbine exhaust gas} = \dot{m}_{\text{Flue Gas}} \cdot h_{\text{Flue Gas (at T Flue Gas)}}$$

$$\frac{\text{Kj}}{\text{Sec}} = 373.33 \quad \frac{\text{Kj}}{\text{Kg}} = 576.7 \quad \frac{\text{Kj}}{\text{Kg}} = 215299.4 \quad \text{Kg} = \text{Sec}$$



POWEREN.IR

PowerEn.ir

167396.1
□□100□77.75%
215299.4

□□ =

۳-۴-۵. بالانس اگزرژی بویلر بازیافت حرارت

اطلاعات مورد نیاز برای نوشتن بالانس اگزرژی بویلر بازیافت حرارت نیروگاه حاضر در شرایط
تست کارایی در جدول ۳-۳ ارائه شده است .

1 . Heat Recovery Steam Generator

۵۳

جدول ۳-۳. اطلاعات ترمودینامیکی ورودی و خروجیهای بویلر بازیافت حرارت در شرایط تست کارایی

h-ToS Properties	S	h	P	m& T	
Name	bar	Kj/Kg	Kj/Kg.K	Kj/Kg	Kg/Sec °C
آب ورودی	56.13	65	16.2	273.44	0.8927 2.0592
بخار فشار متوسط خروجی	۱۱/۵۹	۱۹۷/۸	۶/۶	۲۸۴۲/۵۱	۶/۹۰۹ ۷۴۲/۱۷۴
دود ورودی	373.33	532	0.9226	576.7	1.161 223.756
دود خروجی	373.33	127	0.8961	128.1	0.423 -0.492

تعیین انرژی گازهای ورودی به بویلر بازیافت حرارت :

$$E_{\text{InletFlueGas}} = 373.33 \text{ Kg} \times (576.7 - 304.15) \times 1.161 = 83.47 \text{ MW} \text{ Sec}$$

$$E_{\text{OutletFlueGas}} = 373.33 \text{ Kg} \times (128.1 - 304.15) \times 0.423 = -0.207 \text{ MW} \text{ Sec}$$

بالانس انرژی برای بویلر بازیافت حرارت به شکل زیر به دست می آید.

$$\text{بازگشت ناپذیری} + \text{انرژی خروجی} = \text{انرژی ورودی}$$

I&Q

$$E_{\text{IPWater}} + E_{\text{HPWater}} + E_{\text{FWEconomizaer}} + E_{\text{DEAEVAPIn}} + E_{\text{InletFuelGas}}$$

$$= E_{\text{DEAEVAPOut}} + E_{\text{OutletFuelGas}} + E_{\text{IPSteam}} + E_{\text{HPSteam}} + E_{\text{FWEconomizaer}}$$

$$E_{\text{IPWater}} = 11.59 \text{ Kg} \times (592.32 - 273.15) \times 1.739 = 1.36 \text{ MW}$$

&

Kg

Sec

$E\&X_{HPWater} \square 44.54 \text{Kg} \square (598.41 - 273.15 \square 1.73) \text{Kj} \square 5.606 \text{MW}$

Kg

Sec

$E\&X_{FWEconomizaer} \square 56.13 \text{Kg} \square (273.44 - 273.15 \square 0.8927) \text{Kj} \square 1.66 \text{MW}$

Kg Sec

in

$E\&X_{DEAEVAP} - E\&X_{DEAEVAP} \square 1.86 \square (2143.38 - 273.15 \square 5.184) \square 1.35 \text{MW}$

In

Out

$E\&X_{IPSteam} \square 11.59 \text{Kg} \square (2842.51 - 273.15 \square 6.9087) \text{Kj} \square 11.073 \text{MW}$

&

Kg

Sec

$E\&X_{HPSteam} \square 44.54 \text{Kg} \square (3363.26 - 273.15 \square 6.6724) \text{Kj} \square 68.622 \text{MW}$

Kg

Sec

$E\&X_{FWEconomizaer}$

$\square 56.13 \text{Kg} \square (517.53 - 273.15 \square 1.559) \text{Kj} \square 5.146 \text{MW}$

Kg Sec

Out

۵۴

$1.36 \times 10^6 \times 5.606 \times 10^6 \times 1.66 \times 10^8 \times 83.47 - 1.35 - 11.073 - 68.622 - 5.146 - (-0.207) \times 6.11 \text{ MW}$

۳-۴-۶. محاسبه راندمان اگزرژی بویلر بازیافت حرارت

راندمان اگزرژی (قانون دوم) برای بویلرهای بازیافت حرارت را به صورت زیر می توان نوشت .

$$\frac{\dot{m}_{\text{Steam}} (h_{\text{Steam}} - h_{\text{Water}})}{\dot{m}_{\text{FlueGas}} (h_{\text{Inlet}} - h_{\text{Outlet}})} = 100\%$$

Ex Ex

m&

$$\dot{m}_{\text{FlueGas}} (h_{\text{Inlet}} - h_{\text{Outlet}})$$

$$44.54 \times 10^6 \times 1334.97 \times 10^6 \times 11.59 \times 10^6 \times 742.174 - 56.13 \times 10^6 \times 2.0592$$

$\eta =$

$$\frac{100 \times 67945.73 \times 10^6 \times 81.34\%}{83534.83}$$

$$373.33 \times 10^6 \times 223.756$$

۳-۵. آنالیز انرژی و اگزرژی و تحلیل عملکرد توربین بخار

شرایط ترمودینامیکی سیالهای ورودی و خروجی توربین بخار در شرایط بار پایه و جهت تحلیل توربوژنراتورهای واحد بخار نیروگاه مورد نظر در جدول ۳-۴ ارائه شده است .

جدول ۳-۴. اطلاعات مورد نیاز جهت تحلیل توربوژنراتورهای نیروگاه بخار در روزهای اندازه گیری

	Temp.	Pressure	Flow	Enthalpy	Entropy	Quality	
-	Kj/Kg	Kj/Kg.K	bar	Kg/Sec	No.	Description	°C
1	HP Inlet Steam	482	76.9	89.0	3358.67	6.69	
2	IP Inlet Steam	193	5.5	23.0	2838.0	6.98	
3	Discharge Steam	64.5	0.245	112.0	2372.62	7.114	0.896
4	Generator Output Active Power (KW)	=98200					

۳-۵-۱. موازنه انرژی توربین بخار

با داشتن اطلاعات ترمودینامیکی بخارهای ورودی و بخار خروجی توربین و کار تولیدی توسط توربین می توان براساس موازنه انرژی توربین ، کیفیت بخار خروجی توربین را تعیین کرد.

رابطه موازنه انرژی توربین بصورت زیر می باشد [۳].

(4-1)

$$W_{\text{Turbine}} = m_{\text{InletHPSteam}} h_{\text{InletHPSteam}} - m_{\text{InletIPSteam}} h_{\text{InletIPSteam}} - m_{\text{DischargeSteam}} h_{\text{DischargeSteam}}$$

$$W_{\text{Turbine}} = 89 \text{Kg} \cdot 3358.7 \text{Kj} - 23 \text{Kg} \cdot 2838.1 \text{Kj} - (89 - 23) \text{Kg} \cdot 2372.62 \text{Kj} \quad \text{Sec}$$

$$W_{\text{Turbine}} = 98464.86 \text{Kj} = 98464.86 \text{KW} \quad \text{Sec}$$



98200

100 99.73%
98464.86

generator =

۳-۵-۲. محاسبه راندمان ایزنتروپیک توربین بخار

با مشخص بودن شرایط ترمودینامیکی سیالهای ورودی و خروجی می توان راندمان توربین را محاسبه کرد.

راندمان ایزنتروپیک توربین از رابطه زیر محاسبه می گردد [۳].
(5-1)

IsentropicTurbin

$$\frac{m \cdot h_{InletHPSteam} - m \cdot h_{Disch eSteam}}{m \cdot h_{InletIPSteam} - m \cdot h_{IsenDisch eSteam}} = \frac{100 \cdot \text{arg}}{\text{arg}}$$

$$\frac{89 \cdot 3358.7 \text{ Kj} - 23 \cdot 2838.1 \text{ Kj}}{89 \cdot 3358.7 \text{ Kj} - 23 \cdot 2838.1 \text{ Kj} - (89 \cdot 2229.32 \text{ Kj} - 23 \cdot 2327.24 \text{ Kj})} = \frac{100 \text{ g}}{\text{g}}$$

98464.86 100 87.71%

112259.63

۳-۵-۳. محاسبه راندمان قانون دوم توربین بخار

راندمان قانون دوم توربین را به صورت کار واقعی توربین به کار بازگشت پذیر تعریف می شود، یعنی دو فرایندی که حالت اولیه و ثانویه یکسانی دارند.

$$\dot{W} = \dot{W}_{Reversible}$$

$$\dot{W} = \sum \dot{m}_i (e_{Xi} - e_{Xe})$$

البته در این رابطه باید توجه داشت که واحد w_a با واحد مخرج هماهنگی داشته باشد.

$$\dot{W} = \sum \dot{m}_i (e_{Xi} - e_{Xe})$$

98464.86KW

$$\dot{W} = \dot{m}_{Inlet\ HP\ Steam} (e_{Inlet\ HP\ Steam} - e_{Disch\ e\ Steam}) - \dot{m}_{Inlet\ IP\ Steam} (e_{Inlet\ IP\ Steam} - e_{Disch\ e\ Steam})$$

98464.86KW

$$\frac{89 \times (3358.7 - 273.15 \times 6.69) \times 23 \times (2838.1 - 273.15 \times 6.98) - 112 \times (2372.62 - 273.15 \times 7.114)}{11151.74}$$

89.82%

۳-۵-۴. موازنه انگرژی توربین بخار

موازنه انگرژی برای توربین به صورت زیر می باشد.

$$I \sum Ex_i - \sum Ex_e - W_a$$

$$I \times 89 \times (3358.7 - 273.15 \times 6.69) \times 23 \times (2838.1 - 273.15 \times 6.98)$$

$$- 112 \times (2372.62 - 273.15 \times 7.114) - 98464.86 \times 11151.74 \text{ KJ/Sec}$$

۳-۶. تحلیل عملکرد ACC

اطلاعات مورد نیاز برای تحلیل عملکرد ACC در شرایط تست کارایی در بار پایه در جدول ۳-۵ ارائه شده است .

جدول ۳-۵. اطلاعات ترمودینامیکی ورودی و خروجیهای ACC در شرایط تست کارایی بار پایه

h-TS Properties	S	h	P	T	m	
Name	bar	Kj/Kg	Kj/Kg.K	Kj/Kg	Kg/Sec °C	
بخار ورودی (x=0.896)	112	64.5	0.245	270.072	0.8876	27.62
بخار خروجی (x=0)	112	64.5	0.245	270.072	0.8876	27.62
شرایط محیط	31	0.892	-	-	-	-

Fan Power Consumption = 2610KW

انرژی الکتریکی مصرفی فنها

۳-۶-۱. محاسبه Effectiveness (ε) کندانسور

Effectivness از رابطه زیر بدست مي آيد:

$$\epsilon = \frac{Q}{Q_{\max}}$$

که در آن Q گرمای مبادله شده بین بخار و جریان هوای ایجاد شده توسط ۱۸ فن موجود بوده و با توجه به اینکه دبی آب جبرانی در شرایط تست صفر بوده است ، عبارتست از:

$$\text{Heat Transfer to Cooling Water} = m_{\text{InletSteam}} h_{\text{InletSteam}} - m_{\text{OutletSteam}} h_{\text{OutletSteam}}$$

$$Q_{\text{Condense}} = 112 \text{ Kg} \cdot (2372.62 - 270.072) \text{ Kj} = 235487.8 \text{ Kj}$$

Sec

Kg

Sec

9

$$Q_{\text{max}} = m \cdot \text{Steam} \cdot (h_{\text{InletSteam}} - h_{\text{Outlet(at } T_{\text{min}})})$$

که T_{min} دمایی محیط می باشد.

$$Q_{\text{max}} = 112 \text{ Kg} \cdot (2372.62 - 129.932) \text{ Kj} = 251181.06 \text{ Kj}$$

Sec

Kg

Sec

که در آن :

$$Q_{\text{max}} = 235487.8$$

$$Q_{\text{max}} = 251181.06$$

€

Q

بازگشت ناپذیری کندانسور به صورت زیر محاسبه می گردد.

$$\Delta S_{\text{System}} = (0.8879 - 7.11438) \text{ Kj} = -6.226 \text{ Kj}$$

Kg.C

Kg.C

Δ

$$Q_{\text{max}} = 2372.62 - 129.932 = 7.374$$

$$\text{Kg.Kj.C} \quad 304.15 \quad \text{TQ}$$

$S_{\text{Surrounding}}$

$$S_{\text{generation}} = \Delta S_{\text{System}} + \Delta S_{\text{Surrounding}} = 7.374 - 6.226 = 1.148 \text{ Kj}$$

Kg.C

$$I \& T = m \cdot T \cdot S_{\text{generation}} = 112 \text{ Kg} \cdot 304.15 \text{ Kj} \cdot 1.148 \text{ Kj} = 39.094 \text{ MW}$$

KgK

Sec

o

اگررژي مبادله شده بين بخار و جريان هواي ايجاد شده توسط ۱۸ فن موجود بوده و با توجه

به اينکه دبي

آب جبراني در شرايط تست صفر بوده است ، عبارتست از:

$$I\&E\&X_{InletSteam} - E\&X_{OutletSteam} - EX_{Surround}.$$

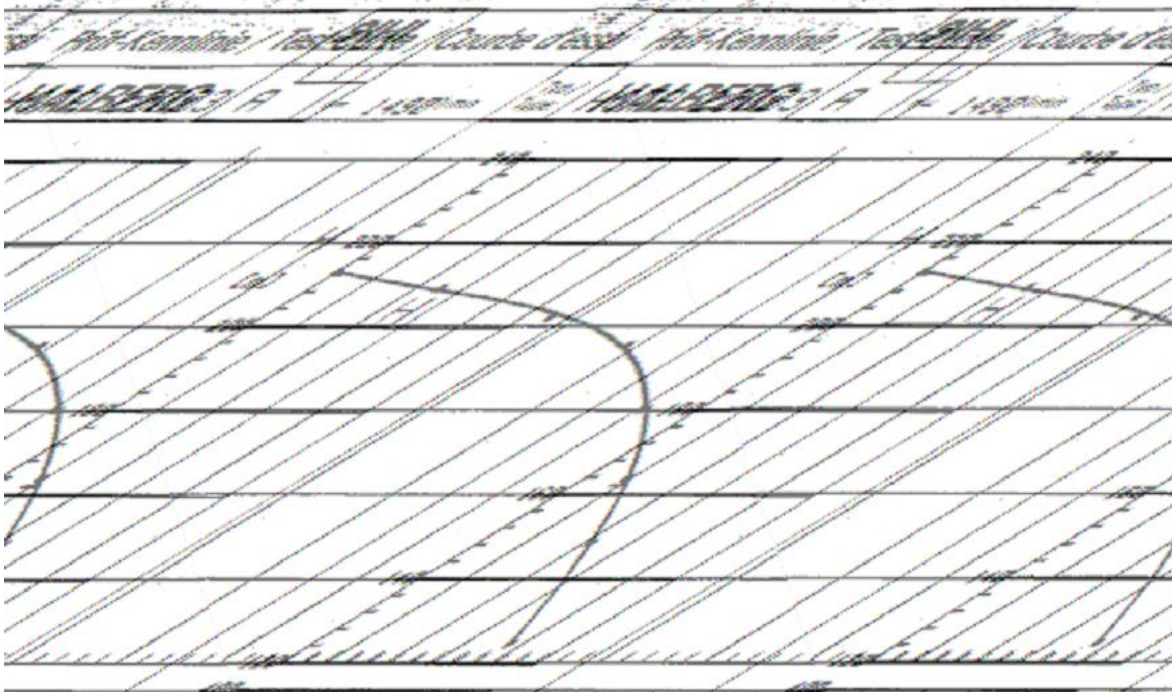
$$39094 \text{ Kkg} \text{ Ex}_{Surr.} \text{ SKgc} [\text{KW} \\ -\& (270.072 - 273.15) (0.8876) - (2372.62 - 273.15) (7.114)]$$

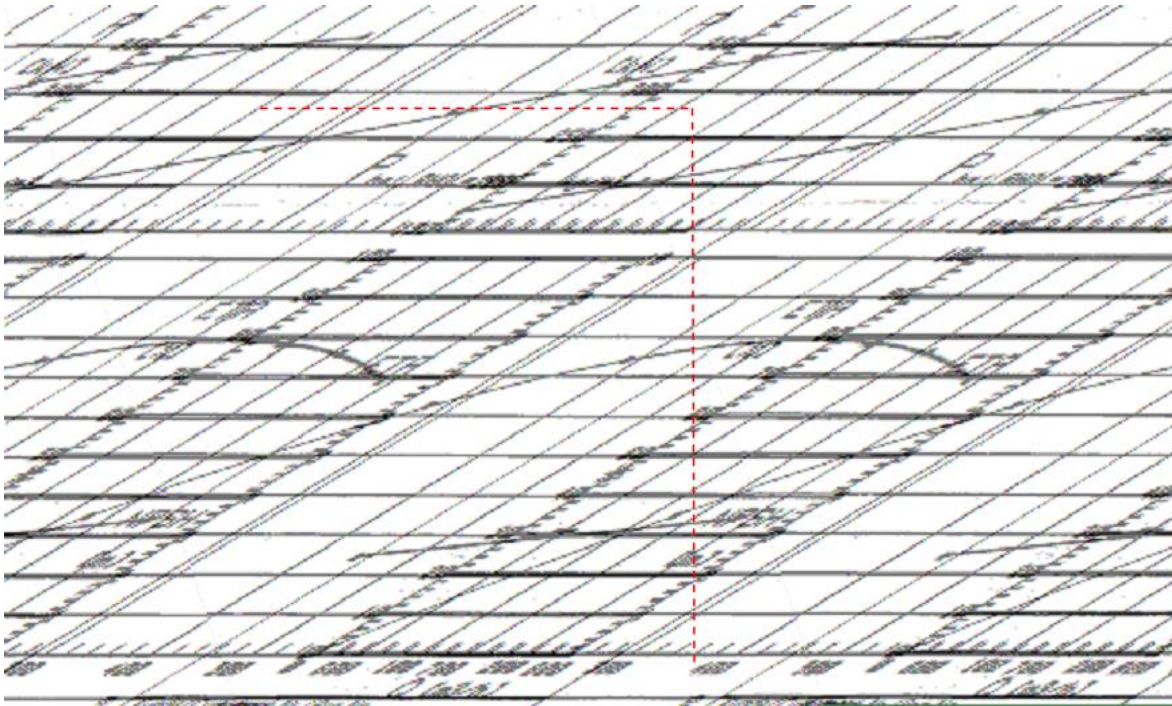
$$5908.4 \text{ Kj} \text{ } 5.91 \text{ MW} \\ \text{Sec}$$

۵۸

۷-۳. آنالیز انرژی و انرژی عملکرد پمپ کندانس

منحنی مشخصه پمپ های کندانس در شکل ۶-۳ نمایش داده شده است .





شکل ۶-۳. منحنی مشخصه پمپهای کندانس واحد بخار نیروگاه سیکل ترکیبی مورد نظر

اطلاعات مورد نیاز برای تحلیل کارایی پمپهای کندانس در شرایط طراحی و تست کارایی در جدول ۶-۳ ارائه شده است .

جدول ۳-۶. اطلاعات مورد نیاز جهت تحلیل کارایی پمپهای کندانس در شرایط طراحی و تست پایه

Quantity		Parameter	Unit	Design	Perfortresmtance
65	-	Temperature/Max.Temp	°C		
981			990 Kg/m3		Density
411	600	Capacity/min Capacity	m3/hr		
164.26	162		m		Rated delivery head
15.95	15.73		barg		Differential Pressure
280	337		KW		Pump Input

راندمان ایزوترمال پمپ های کندانس در شرایط طراحی از رابطه زیر به دست می آید:

$$\eta_{th} = \frac{\text{Hydraulic power } Q(P_2 - P_1)}{\text{Powerconsumption } P}$$

که در این رابطه Q دبی حجمی آب ورودی پمپ و IP و ۲P فشار آب ورودی و آب خروجی از

پمپ است .

$$\eta_{th} = \frac{Q(P_2 - P_1)}{P} = \frac{100 \times 600 \text{ hr} \times 36100 \text{ Sec} (1573000) \times 100}{337000 \text{ W}} = 77.79\%$$

لازم به ذکر است ، راندمان موتور پمپ های کندانس در شرایط طراحی برابر ۳۳۷
 $\times 100 = 89.89\%$

۳۷۵

می باشد.

در شرایط تست کارکرد، راندمان ایزوترمال پمپ به صورت زیر محاسبه می گردد.



1hr) (411m³)
 (1595000)Pa
 □□□□□□□□□□
 □□100□65.03% 3600 □□h = □□2₁)×□□00=
 Sec hr QP-□
 280000W P

راندمان ایزنتروپیک پمپ از رابطه زیر به دست می آید.

$$\eta_{is} = \frac{h_{2is} - h_1}{h_2 - h_1} \times 100$$

برای داشتن انتروپی ایزنتروپیک نیاز به داشتن شرایط ترمودینامیکی سیال ورودی و خروجی داشته لذا این راندمان برای شرایط تست کارایی محاسبه می شود.

1 . Performance Test

شرایط ترمودینامیکی سیالهای ورودی و خروجی پمپ در تست کارایی این پمپ
 ها در بار پایه در
 جدول ۳-۷ ارائه شده است .

جدول ۳-۷. مشخصات سیال ورودی و خروجی پمپ های کندانس در تست کارایی و بار پایه

Quantity	Unit	Parameter
0.24500	bar	Pressure
64.50	°C	Temperature
980.79	Kg/m ³	Input Density
270.022	Kj/Kg	Enthalpy
0.887456	Kj/Kg.K	Entropy
16.20	bar	Pressure
65.00	°C	Temperature
981.22	Kg/m ³	Density
273.438	Kj/Kg	Output Enthalpy
	Isentropic Enthalpy	271.648 Kj/Kg
		0.892752 Kj/Kg.K
112	Kg/Sec	Entropy Capacity

راندمان ایزنتروپیک پمپ کندانس در شرایط تست کارایی برابر است با:

$$\eta_{is} = \frac{h_{2is} - h_1}{h_2 - h_1} \times 100 = \frac{271.648 - 270.022}{280 - 270.022} \times 100 = 65.04\%$$

280

h₂ - h₁

راندمان قانون دوم پمپ نیز به صورت نسبت کار بازگشت پذیر از ۱ به ۲ به کار واقعی پمپ

تعریف می شود.

یعنی :

$$\eta_{ex} = \frac{E_{x2} - E_{x1}}{E_{x1}} \times 100$$

$$\eta_{ex} = \frac{E_{x2} - E_{x1}}{E_{x1}}$$



PowerEn.ir

W_P

$$\frac{112 \times (273.438 - 273.15 \times 0.8927) - (270.022 - 273.15 \times 0.88746)}{280} \times 100 = 78.77\%$$

برای محاسبه بازگشت ناپذیری در پمپ کندانس موازنه انرژی را به کار می‌بریم :

&

$$E_{X1} \times W_P \times E_{X2} \times I \Rightarrow I \times W_P - (E_{X2} - E_{X1})$$

$$I \times 280 - 112 \times (273.438 - 273.15 \times 0.8927) - (270.022 - 273.15 \times 0.8875) = 59.43 \text{KW}$$

۶۱

۸-۳. آنالیز انرژی و انرژی و تحلیل عملکرد پمپ آب تغذیه

اطلاعات مورد نیاز برای تحلیل عملکرد پمپهای آب تغذیه در شرایط تست کارایی در جدول ۳-۸ آمده است .

جدول ۸-۳. مشخصات پمپهای آب تغذیه در شرایط تست کارایی

Parameter	Quantity	Unit	
Temperature	139.85	°C	
	3.6	bar	Pressure
Input Capacity	56.13	Kg/Sec	
Enthalpy	588.515	Kj/Kg	
	1.738	Kj/Kg.C	Entropy
	32.5	bar	Pressure
Capacity	11.59	Kg/Sec	
	927.43	Kg/m ³	IP Density
	592.32	Kj/Kg	Output Enthalpy
	1.7393	Kj/Kg.C	Entropy
	125.6	bar	Pressure
Capacity	44.54	Kg/Sec	
	598.41	Kj/Kg	HP Enthalpy
	1.73	Kj/Kg.C	Output Entropy
	932.35	Kg/m ³	Density
Motor Rated Output	1100	KW	
	-		Pump Input

با فرض راندمان ۹۰ درصد برای موتور پمپ و ثابت بودن برق مصرفی در شرایط تست کارکرد، راندمان ایزوترمال پمپ های آب تغذیه به صورت زیر محاسبه می گردد.

$$\eta_{th} = \frac{\text{Hydraulic power}}{Q(P_2 - P_1)} \quad (5-4)$$

W_P

Powerconsumption

44.54

$$\eta_{th} = \frac{100 \times 932.35 (12560 - 1130600) \times 0.991}{217.5493 (3250360) \times 100}$$

Q_P -

Q_P -

KW

WP



POWEREN.IR

PowerEn.ir

□62.52%

راندمان قانون دوم پمپ نیز به صورت نسبت کار بازگشت پذیر از ۱ به ۲ به کار واقعی پمپ

تعریف می شود.

یعنی :

$$\frac{E_{x1} - E_{x2}}{W_p} \times 100$$

$$\eta = \frac{W_{p2}}{W_{p1}}$$

۶۲

44.54(598.41-273.1□1.73)□11.59(592.32-273.1□1.739)-56.13(588.51-273.1□1.738)

□

(0.9□1100)

□58.39%

برای محاسبه بازگشت ناپذیری در پمپ آب تغذیه موازنه انرژی را به کار می بریم :

&

$$E_{x1} \square W_P \square E_{x2} \square I \& \Rightarrow \square \square \square I \& \square W_P - (E_{x2} - E_{x1})$$

I&□990-

□44.54(598.41-273.1□1.73)□11.59(592.32-273.1□1.739)-56.13(588.51-273.1□

1.738)□

□411.96KW

۹-۳. آنالیز انرژی و انرژی واحد بخار نیروگاه مورد نظر

در این قسمت از گزارش، موازنه انرژی و انرژی واحد بخار نیروگاه سیکل ترکیبی مورد نظر براساس اطلاعات تست کارایی در شرایط بار پایه و دمای محیط ۳۱ درجه سانتیگراد، انجام گرفته است .

اطلاعات مورد نیاز برای موازنه انرژی و انرژی واحد بخار نیروگاه حاضر در شرایط دمای هوای محیط ۳۱ درجه سانتیگراد و بار پایه در شکل ۳-۴ ارائه شده است .

۱-۹-۳. موازنه انرژی واحد بخار نیروگاه

جریانهای انرژی ورودی و خروجی در بخشهای مختلف واحد بخار نیروگاه در موازنه انرژی مربوط به هر تجهیز، محاسبه گردیده است . در این بخش جریانهای موجود در واحد بخار نیروگاه به همراه میزان انرژی موجود در هر جریان ارائه شده است .

انرژی دود ورودی به بویلر بازیافت حرارت :

$$E_{\text{InletFlueGas}} \square 373.33\text{Kg} \square 576.7\text{Kj} \square 215.3\text{MW}$$



PowerEn.ir

Kg

Sec

انرژی دود خروجی از بویلر بازیافت حرارت :

$E_{\text{OutletFlueGas}} \square 373.33\text{Kg} \square 128.1\text{Kj} \square 47.83\text{MW}$

Kg

Sec

انرژی مسیر فشار متوسط ورودی به بویلر بازیافت حرارت :

$E_{\text{IPWater}} \square 11.59\text{Kg} \square 592.32\text{Kj} \square 6.86\text{MW}$

&

Kg

Sec

انرژی مسیر فشار قوی ورودی به بویلر بازیافت حرارت :

$E_{\text{HPWater}} \square 44.54\text{Kg} \square 598.41\text{Kj} \square 26.65\text{MW}$

Kg

Sec

۶۳

انرژی مسیر آب ورودی به اکونومایزر آب تغذیه :

$E_{FWEconomizaer} \square 56.13Kg \square 273.44Kj \square 15.35MW$
&

Kg Sec

in

انرژی مسیر آب خروجی از اکونومایزر آب تغذیه :

$\square \square 56.13Kg \square 517.53Kj$

$E_{FWEconomizaer}$

$\square 29.05MW$

&

Kg Sec

Out

انرژی خروجی از تبخیر کننده دیاریتور :

$\square -E_{DEAEVAP}$

$E_{DEAEVAP}$

$\square 1.86 \square 2143.38 \square 3.99MW$

In

Out

انرژی خروجی توسط مسیر بخار فشار متوسط تولیدی در بویلر بازیافت حرارت :

$E_{IPSteam} \square 11.59Kg \square 2842.51Kj \square 32.94MW$

&

Kg

Sec

انرژی خروجی توسط مسیر بخار فشار قوی تولیدی در بویلر بازیافت حرارت :

$E_{HPSteam} \square 44.54Kg \square 3363.26Kj \square 149.8MW$

Kg

Sec

انرژی ورودی به توربین بخار توسط مسیر بخار فشار متوسط :

$E_{IPSteamtoTurbine} \square 23Kg \square 2838.1Kj \square 65.28MW$

&

Kg

Sec

انرژی ورودی به توربین بخار توسط مسیر بخار فشار قوی :

$E_{HPSteamtoTurbine} \square 89Kg \square 3358.7Kj \square 298.92MW$

&

Kg

Sec

انرژی بخار خروجی از توربین بخار :

$$E_{\text{Discharge Steam}} = 112 \text{ Kg} \cdot 2372.62 \text{ Kj} = 265.73 \text{ MW}$$

Sec

موازنه انرژی توربین بخار:

$$W_a = \sum E_{X_e} - \sum E_{X_i}$$

$$W_a = 112 \text{ Kg} \cdot (2372.6 - 273.15) \text{ Kj} - (89 \text{ Kg} \cdot (3358.7 - 273.15) \text{ Kj})$$

$$23 \text{ Kg} \cdot (2838.1 - 273.15) \text{ Kj} = 98464.9 \text{ KW} = 98.465 \text{ MW}$$

Sec

انرژی خروجی از کندانسور از مسیر کندانس :

$$E_{\text{Condense}} = 112 \text{ Kg} \cdot 270.072 \text{ Kj} = 30.24 \text{ MW}$$

Sec

انرژی مبادله شده بین بخار و جریان هوای ایجاد شده توسط ۱۸ فن موجود، با توجه به اینکه دبی آب

جبرانی در شرایط تست صفر بوده است ، عبارتست از :

&

$$E = m \cdot (h_{InletSteam} - h_{OutletSteam})$$

$$112 \text{ Kg} \cdot (2372.62 - 270.072) \text{ Kj} = 235.49 \text{ MW}$$

Sec

انرژی خروجی از مسیر کندانس پمپ کندانس :

$$E_{\text{Outlet of Condensate Pump}} = 112 \text{ Kg} \cdot 273.438 \text{ Kj} = 30.62 \text{ MW}$$

Sec

انرژی مسیر خروجی از دیاریتور و ورودی به پمپ آب تغذیه :

$$E_{\text{Inlet of Feed Water Pump}} = 56.13 \text{ Kg} \cdot 588.51 \text{ Kj} = 33.03 \text{ MW}$$

Sec

انرژی مسیر فشار متوسط خروجی از پمپ آب تغذیه :

$$E_{\text{IP Feed Water}} = 11.59 \text{ Kg} \cdot 592.32 \text{ Kj} = 6.86 \text{ MW}$$

Sec

انرژی مسیر فشار قوی خروجی از پمپ آب تغذیه :

$$E_{\text{HP Feed Water}} = 44.54 \text{ Kg} \cdot 598.41 \text{ Kj} = 26.65 \text{ MW}$$

Sec

نمودار جریانهای انرژی واحد بخار نیروگاه سیکل ترکیبی نیروگاه مورد بررسی در گزارش در

شرایط تست

کارایی در شکل ۳-۷ نشان داده شده است .



۲-۹-۳. موازنه انرژی واحد بخار نیروگاه مورد نظر

جریانهای انرژی ورودی و خروجی در بخشهای مختلف واحد بخار نیروگاه مورد نظر را می

توان به صورت

زیر مشخص کرد:

انرژی دود ورودی به بویلر بازیافت حرارت :

پتانسیل شیمیایی گازهای ورودی به بویلر بازیافت حرارت نیروگاه مورد نظر در شرایط تست کارایی بار

پایه در

جدول ۳-۹ ارائه شده است .

جدول ۳-۹. پتانسیل شیمیایی گازهای ورودی به بویلر بازیافت حرارت نیروگاه حاضر در شرایط تست کارایی

Components	%mole	(Kj/Kgmole)
20140		Carbon dioxide 3.01
11710	6.15	Water
720	75.51	Nitrogen
3970	14.43	Oxygen
11690	0.9	Argon
2548.132	100	Total

$$E_{\text{exfluegasout}} = 2548.132 \text{ Kj/Kgmole} \times 28.56 \text{ Kg} = 89.22 \text{ Kj/Kg}$$

$$E_{\text{intletfluegasfromgasturbineenergytoHRSG}} = E_{\text{XInletFlueGas}}$$

$$E_{\text{XInletFlueGas}} = 373.33 \text{ Kg} \times (576.7 - 304) \times 1.61 \times 89.22 \text{ Kj} = 116.85 \text{ MW}$$

انرژی دود خروجی از بویلر بازیافت حرارت :

$E\&X_{\text{OutletFlueGas}} = 373.33\text{Kg} \cdot (128.1 - 304) + 0.423 \cdot 89.22 \text{Kj} = 32.12\text{MW}$
Kg

Sec

اگرژی مسیر فشار متوسط ورودی به بویلر بازیافت حرارت :

$E\&X_{\text{IPWater}} = 11.59\text{Kg} \cdot (592.32 - 273.15) + 1.739 \text{Kj} = 1.36\text{MW}$
&

Kg

Sec

اگرژی مسیر فشار قوی ورودی به بویلر بازیافت حرارت :

$E\&X_{\text{HPWater}} = 44.54\text{Kg} \cdot (598.41 - 273.15) + 1.73 \text{Kj} = 5.606\text{MW}$
Kg

Sec

اگرژی مسیر آب ورودی به اکونومایزر آب تغذیه :

$E_{FW}^{Economizaer} = 56.13 \text{ Kg} \cdot (273.44 - 273.15) \cdot 0.8927 \text{ Kj} = 1.66 \text{ MW}$

&

Kg Sec

in

اگرژی مسیر آب خروجی از اکونومایزر آب تغذیه :

$E_{FW}^{Economizaer}$

$56.13 \text{ Kg} \cdot (517.53 - 273.15) \cdot 1.559 \text{ Kj} = 5.146 \text{ MW}$

&

Kg Sec

Out

اگرژی خروجی از تبخیر کننده دیاریتور :

$E_{x_{DEAEVAP}} - E_{x_{DEAEVAP}} = 1.86 \cdot (2143.38 - 273.15) \cdot 5.184 = 1.35 \text{ MW}$

In

Out

اگرژی خروجی توسط مسیر بخار فشار متوسط تولیدی در بویلر بازیافت حرارت :

$E_{IP}^{Steam} = 11.59 \text{ Kg} \cdot (2842.51 - 273.15) \cdot 6.9087 \text{ Kj} = 11.073 \text{ MW}$

&

Kg

Sec

اگرژی خروجی توسط مسیر بخار فشار قوی تولیدی در بویلر بازیافت حرارت :

$E_{x_{HP}^{Steam}} = 44.54 \text{ Kg} \cdot (3363.26 - 273.15) \cdot 6.6724 \text{ Kj} = 68.622 \text{ MW}$

Kg

Sec

اگرژی ورودی به توربین بخار توسط مسیر بخار فشار متوسط :

$E_{IP}^{SteamtoTurbine} = 23 \text{ Kg} \cdot (2838.1 - 273.15) \cdot 6.98 \text{ Kj} = 21.42 \text{ MW}$

&

Kg

Sec

اگرژی ورودی به توربین بخار توسط مسیر بخار فشار قوی :

$E_{x_{HP}^{SteamtoTurbine}} = 89 \text{ Kg} \cdot (3358.7 - 273.15) \cdot 6.69 \text{ Kj} = 136.29 \text{ MW}$

&

Kg

Sec

اگرژی بخار خروجی از توربین بخار :

$$E\&X_{\text{DischargeSteam}} = 112 \text{Kg} \cdot (2372.62 - 273.15) \cdot 7.114 \text{Kj} = 48.096 \text{MW}$$

Kg Sec

بازگشت ناپذيري براي توربين :

$$I = \sum \dot{E}x_i - \sum \dot{E}x_e - W_a$$

$$I = 89 \text{Kg} \cdot (3358.7 - 273.15) \cdot 6.69 \text{Kj} - 23 \text{Kg} \cdot (2838.1 - 273.15) \cdot 6.98 \text{Kj}$$

Kg Sec Kg Sec

$$- 112 \text{Kg} \cdot (2372.6 - 273.15) \cdot 7.114 \text{Kj} - 98464.9 \text{KW} = 11151.7 \text{Kj} = 11.15 \text{MW}$$

Sec Kg Sec

اگررژي خروجي از کندانسور از مسیر کندانس :

$$E\&X_{\text{Condense}} = 112 \text{Kg} \cdot (270.072 - 273.15) \cdot 0.8876 \text{Kj} = 3.093 \text{MW}$$

Kg Sec

بازگشت ناپذيري کندانسور :

$$\Delta S_{\text{System}} = (0.8879 - 7.11438) \text{Kj} = -6.226 \text{Kj}$$

Kg.C Kg.C

Δ

$$\Delta T_{\text{Surrounding}} = 2372.62 - 129.932 = 7.374$$

$$Q_{\text{Surrounding}} = \dot{m}_{\text{Surrounding}} \cdot C_p \cdot \Delta T_{\text{Surrounding}} = 304.15 \text{ Kg} \cdot 4.18 \text{ Kj/C} \cdot 7.374 = 9340.5 \text{ Kj/Sec}$$

$$Q_{\text{System}} = \dot{m}_{\text{System}} \cdot C_p \cdot \Delta T_{\text{System}} = 112 \text{ Kg} \cdot 4.18 \text{ Kj/C} \cdot (2372.62 - 273.15) = 1000000 \text{ Kj/Sec}$$

$$Q_{\text{Generation}} = \dot{m}_{\text{Generation}} \cdot C_p \cdot \Delta T_{\text{Generation}} = 112 \text{ Kg} \cdot 4.18 \text{ Kj/C} \cdot (304.15 - 1.148) = 14800 \text{ Kj/Sec}$$

اگررژي مبادله شده بين بخار و جريان هواي ايجاد شده توسط ۱۸ فن موجود بوده و با توجه

به اينکه دبي

آب جبراني در شرايط تست صفر بوده است ، عبارتست از:

$$Q_{\text{Net}} = \dot{m}_{\text{Inlet}} \cdot C_p \cdot (T_{\text{Inlet}} - T_{\text{Surrounding}}) - \dot{m}_{\text{Outlet}} \cdot C_p \cdot (T_{\text{Outlet}} - T_{\text{Surrounding}})$$

$$Q_{\text{Net}} = 112 \text{ Kg} \cdot 4.18 \text{ Kj/C} \cdot (2372.62 - 273.15) - 112 \text{ Kg} \cdot 4.18 \text{ Kj/C} \cdot (273.15 - 270.072) = 1000000 - 14800 = 985200 \text{ Kj/Sec} = 985.2 \text{ MW}$$

$$Q_{\text{Net}} = 5908.4 \text{ Kj/Sec} = 5.91 \text{ MW}$$

اگررژي خروجي از مسير کندانس پمپ کندانس :

$$Q_{\text{Condensate}} = \dot{m}_{\text{Condensate}} \cdot C_p \cdot \Delta T_{\text{Condensate}} = 112 \text{ Kg} \cdot 4.18 \text{ Kj/C} \cdot (273.438 - 273.15) = 13100 \text{ Kj/Sec} = 13.1 \text{ MW}$$

بازگشت ناپذيري در پمپ کندانس :

$$I\&=337-112 \times (273.44-273.15 \times 0.8927) - (270.02-273.15 \times 0.0.8875) \times 116.43KW$$

اگرژی مسیر خروجی از دیاریتور و ورودی به پمپ آب تغذیه :

$$E\&X_{InletofFeedWaterPump} = 56.13Kg \times (588.51-273.1 \times 1.738)Kj = 6.39MW$$

Kg Sec

بازگشت ناپذیری در دیاریتور :

$$I\&= \underbrace{m\&Water}_{2} \cdot \underbrace{Ex\&Water}_{2} + \underbrace{R\&Recirculation}_{Deaerator} \cdot \underbrace{(Ex\&SaturatedVapor - X\&SaturatedLiquid)}_{1} \text{ (atT)}$$

$$I\&=56.13 \times 91.43 \times 1.86 \times (2143-273.15 \times 5.184) - 56.13 \times 113.86 \times 0.093MW$$

اگرژی مسیر فشار متوسط خروجی از پمپ آب تغذیه :

$$E\&X_{IPFeedWater} = 11.59Kg \times (592.32-273.1 \times 1.739)Kj = 1.36MW$$

Kg Sec

اگرژی مسیر فشار قوی خروجی از پمپ آب تغذیه :

$$E\&X_{HPFeedWater} = 44.54Kg \times (598.41-273.1 \times 1.73)Kj = 5.606MW$$

Kg Sec

بازگشت ناپذیری در پمپ آب تغذیه :

I&O 990-

$44.54(598.4 - 273.1 \times 1.73) + 11.59(592.3 - 273.1 \times 1.739) - 56.13(588.5 - 273.1 \times 1.738)$

411.96 KW

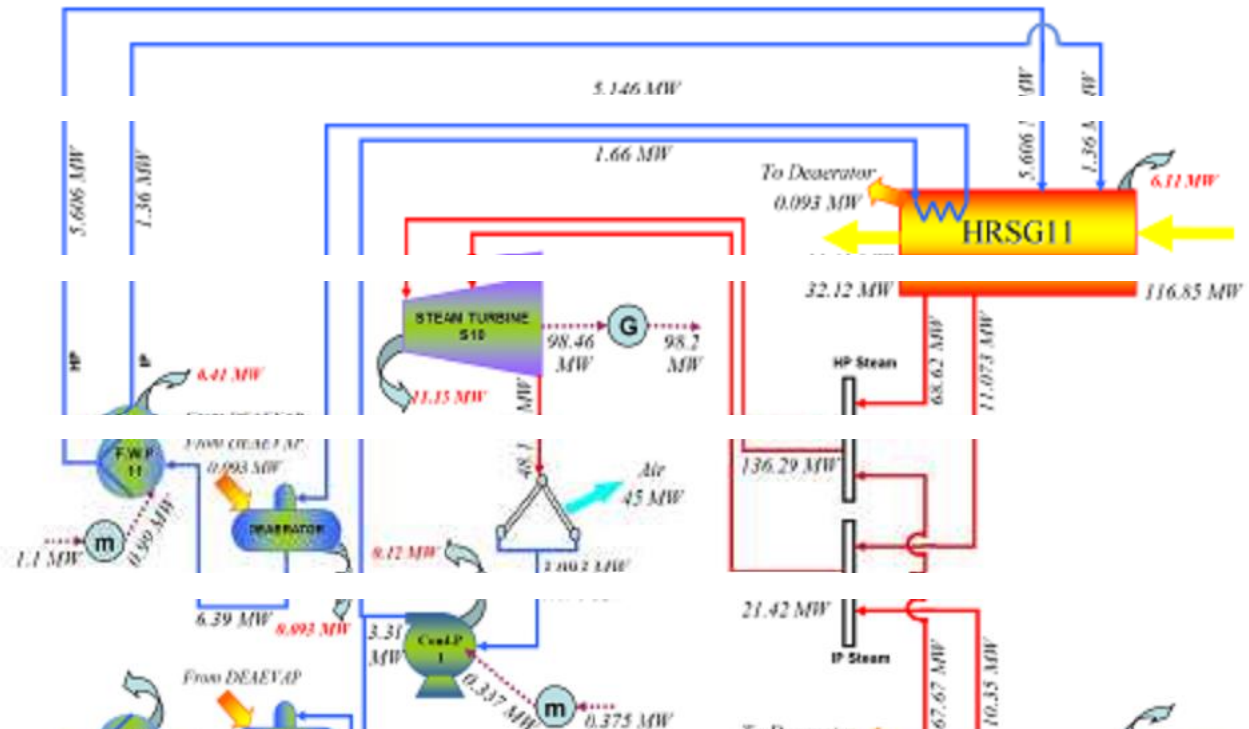
بازگشت ناپذیری برای بویلر بازیافت حرارت :

I&O

$$\begin{aligned} & \dot{E}_{DEAEVAP,In} - \dot{E}_{DEAEVAP,Out} + \dot{E}_{InletFuelGas,In} - \dot{E}_{OutletFuelGas,Out} + \dot{E}_{IPWater} - \dot{E}_{HPWater} + \dot{E}_{FEconomizaer} \\ & - \dot{E}_{IPSteam} - \dot{E}_{HPSteam} - \dot{E}_{FEconomizaer} \end{aligned}$$

I&O $1.36 + 5.606 + 1.66 + 116.85 - 1.35 - 11.073 - 68.622 - 5.146 - 32.12 + 7.165 \text{ MW}$

نمودار جریانهای انرژی مطابق شکل ۳-۸ خواهد بود.





شکل ۳-۸. نمودار جریانهای انرژی واحد بخار نیروگاه سیکل ترکیبی در شرایط تست کارایی با دمای

محیط 31°C

۱۰-۳. محاسبه راندمان و Heat Rate سیکل ترکیبی نیروگاه مورد نظر

اطلاعات مورد نیاز برای تعیین راندمان و Heat Rate نیروگاه در زمان تست کارایی سیکل ترکیبی نیروگاه در جدول ۱۰-۳ ارائه شده است .

جدول ۱۰-۳. اطلاعات مورد نیاز برای تعیین راندمان نیروگاه زمان تست کارایی

Value	Unit	Discription
0.89521	bar	Ambient air pressure
19	°C	Ambient air temperature
Natural Gas	-	Type of fuel
Btu/lb(Kj/Kg)		LHV of fuel
19590(45566.3)		
112.128	MW	GT3 power output
26870	Kg/hr	GT3 fuel flow
111.262	MW	GT4 power output
26114	Kg/hr	GT4 fuel flow
100.64	MW	Steam Turbogenerator power output
2213	KW	Auxiliary consumption of ACC
375	KW	Condensate pump power consumption
1100	KW	Feed Water pump power consumption

راندمان و Heat Rate واحدهای گازی نیروگاه حاضر برابر است با:

PowerProduction
 $\frac{\text{EnergyOutput}}{\text{EnergyInput}}$

$\frac{\text{EnergyOutput}}{\text{EnergyInput}}$

112128KW

$\frac{112128}{7.464 \times 45566.3} = 32.97\%$

$\frac{\text{EnergyOutput}}{\text{EnergyInput}}$



PowerEn.ir

□

Heatrate□BTU□□□3412.14□3412.14□10349.23BTU
KWh □□□□□□.3297

KWh

□

Heatrate□KCal□□□859.84□859.84□2607.95KCal
KWh □□□□□□.3297

KWh

111262KW

□□100□33.66%
7.254Kg/S□45566.3Kj/Kg
Y°

□□T4=

راندمان ناخالص سیکل ترکیبی نیروگاه مورد بررسی در گزارش برابر است با:

$$\frac{(112128 \times 111262 \times 100640) \text{KW}}{100 \times 48.32\%} = \text{Combine Cycle} = (7.464 \times 7.254) \text{Kg/S} \times 45566.3 \text{Kj/Kg}$$

راندمان خالص سیکل ترکیبی این نیروگاه برابر است با:

$$\frac{(112128 \times 111262 \times 100640 - 2.213 - 1.1 - 0.375) \text{KW}}{100 \times 48.316\%} = \text{Combine Cycle} = (7.464 \times 7.254) \text{Kg/S} \times 45566.3 \text{Kj/Kg}$$

نتایج حاصل از محاسبه راندمان و Heat Rate واحدهای گازی و سیکل ترکیبی نیروگاه حاضر در شرایط تست کارایی نیروگاه در جدول ۱۱-۳ آمده است .

جدول ۱۱-۳. راندمان و Heat Rate واحدهای گازی و سیکل ترکیبی نیروگاه مورد نظر در شرایط تست

کارایی نیروگاه

BTU/KWh Kcal/KWh	Efficiency %	Heat Rate	Discription
32.97	10349.23		Gas Power Plant (GT3)
2607.95			
33.66	10137.08		Gas Power Plant (GT4)
2554.49			
Combine Cycle Power Plant	48.32	7061.55	1779.47

۱۱-۳. محاسبه راندمان اگزرژی سیکل ترکیبی نیروگاه مورد نظر



راندمان اگزرژی واحد گازی نیروگاه مورد نظر که نسبت اگزرژی خروجی به نسبت اگزرژی

ورودی نیروگاه

گازی است ، به صورت زیر محاسبه می گردد:

ProducedPower

η_{ex} & E_{fuel}

112.128

η_{GT3} = 31.4%

$7.464 \text{Kgs} \cdot (874870 \text{KjKgmole}^{-1} - 18.29 \text{KgKgmole}^{-1})$

η_{GT3} =

111.262

η_{GT4} = 32.07%

$7.254 \text{Kgs} \cdot (874870 \text{KjKgmole}^{-1} - 18.29 \text{KgKgmole}^{-1})$

η_{GT4} =

$112.128 \cdot 111.262 \cdot 100.64$

η_{total} = 32.07%

$(7.464 \cdot 7.254) \text{Kgs} \cdot (874870 \text{KjKgmole}^{-1} - 18.29 \text{KgKgmole}^{-1})$

η_{total} =

۷۱

۱۲-۳. خلاصه نتایج

محاسبات آنالیز انرژی و اگزرژی و تعیین راندمان و Heat Rate برای واحد گازی براساس اطلاعات تست کارایی واحدهای گازی نیروگاه در بار پایه و برای واحد بخار براساس اطلاعات تست کارایی سیکل ترکیبی در بار پایه توربوژنراتور واحد بخار انجام گرفته است. برای سیکل ترکیبی محاسبات مربوط به راندمان و Heat Rate به دلیل ضرورت وجود اطلاعات کل سیکل به طور همزمان در شرایط تست کارایی سیکل ترکیبی براساس اطلاعات موجود در دمای محیط ۱۹ درجه سانتیگراد و بار تولیدی واحد بخار برابر ۱۰۰۶۴۰ کیلووات و بار تولیدی واحدهای گازی برابر ۱۱۲۱۲۸ کیلووات و ۱۱۲۶۲ کیلووات انجام گرفته است. خلاصه نتایج مربوط به تحلیل انرژی و اگزرژی واحدهای گاز، بخار و سیکل ترکیبی و تجهیزات موجود بر مبنای اطلاعات طراحی در جدول ۳-

۱۲، جدول ۳-۱۳ و جدول ۳-۱۴ ارائه شده است.

جدول ۱۲-۳. نتایج مربوط به تحلیل انرژی و اگزرژی واحد گازی نیروگاه سیکل ترکیبی

نتایج تحلیل انرژی و اگزرژی واحد گازی نیروگاه

۳/۱۰۶۴۶ بی تی یو بر کیلووات ساعت

Heat rate

۸/۲۶۸۲ کیلو کالری بر کیلووات ساعت

راندمان انرژی (استاندارد) ۰۵/۳۲ درصد

راندمان اگزرژی ۱/۲۶ درصد

راندمان سیکل برای تون متناظر ۸۴/۵۲ درصد

راندمان سیکل واقعی واحد گازی ۷/۲۵ درصد

نتایج تحلیل انرژی و اگزرژی کمپرسورها در شرایط طراحی

راندمان آیزنتروپیک کمپرسور ۹۹/۸۹ درصد

راندمان آیزوترمال ۵۴/۵۸ درصد

راندمان اگزرژی ۴۴/۹۴ درصد

توان مصرفی کمپرسور ۰۳/۱۴۵ مگاوات



PowerEn.ir

۰۶/۴۰۲ کیلووات بر متر مکعب

نتایج تحلیل انرژی و انرژی توربینهای گازی در شرایط طراحی

۰۲/۸۷ درصد

۶۱/۹۴ درصد

۷۲

شدت مصرف انرژی الکتریکی

راندمان آیزنتروپیک

راندمان انرژی

جدول ۳-۱۳. نتایج مربوط به تحلیل انرژی و انرژی واحد بخار نیروگاه سیکل ترکیبی

نتایج تحلیل انرژی و انرژی بویلر بازیافت حرارت		
Effectivness		0/9548
راندمان انرژی ۷۵/۷۷ درصد	راندمان انرژی	
راندمان انرژی ۳۴/۸۱ درصد	راندمان انرژی	
نتایج تحلیل انرژی و انرژی توربین بخار		
راندمان آیزنتروپیک ۷۱/۸۷ درصد	راندمان آیزنتروپیک	
راندمان انرژی ۸۲/۸۹ درصد	راندمان انرژی	
توان تولیدی توربین ۶۶۵/۹۴ مگاوات	توان تولیدی توربین	
راندمان ژنراتور واحد بخار ۷/۹۹ درصد	راندمان ژنراتور واحد بخار	
نتایج تحلیل انرژی و انرژی ACC		
Effectivness		0/9375
توان مبادله شده با هوا ۵/۲۳۵ مگاوات	توان مبادله شده با هوا	
توان مصرفی فنهای کندانسور ۶۱/۲ مگاوات	توان مصرفی فنهای کندانسور	
انرژی مبادله شده با هوا ۹۱/۵ مگاوات	انرژی مبادله شده با هوا	
بازگشت ناپذیری ۱/۳۹ مگاوات	بازگشت ناپذیری	
نتایج تحلیل انرژی و انرژی پمپ کندانس		
راندمان آیزوترمال طراحی ۷۹/۷۷ درصد	راندمان آیزوترمال طراحی	
راندمان آیزنتروپیک تست کارایی ۰۴/۶۵ درصد	راندمان آیزنتروپیک تست کارایی	
راندمان آیزوترمال تست کارایی ۰۳/۶۵ درصد	راندمان آیزوترمال تست کارایی	
راندمان انرژی تست کارایی ۷۷/۷۸ درصد	راندمان انرژی تست کارایی	
توان مصرفی الکتروموتور در حالت طراحی ۳۷۵ کیلووات	توان مصرفی الکتروموتور در حالت طراحی	
توان مصرفی پمپ در حالت طراحی ۳۳۷ کیلووات	توان مصرفی پمپ در حالت طراحی	
راندمان الکتروموتور ۸۹/۸۹ درصد	راندمان الکتروموتور	
نتایج تحلیل انرژی و انرژی پمپ کندانس		
راندمان آیزوترمال ۵۲/۶۲ درصد	راندمان آیزوترمال	
راندمان انرژی ۳۹/۵۸ درصد	راندمان انرژی	
توان مصرفی الکتروموتور ۱۱۰۰ کیلووات	توان مصرفی الکتروموتور	

جدول ۳-۱۴. نتایج مربوط به محاسبات راندمان انرژی‌تیک و انرژی‌تیک سیکل ترکیبی نیروگاه

Heat Rate		راندمان	توضیح
BTU/KWh	Kcal/KWh		
10349/23	2607/95	۹۷/۳۲ درصد	واحد گازی ۳
10137/08	2554/49	۶۶/۳۳ درصد	واحد گازی ۴
7061/55	1779/47	۳۲/۴۸ درصد	سیکل ترکیبی
		۷۳	

فهرست منابع و مآخذ

۱. اطلاعات طراحی و تست کارایی واحدهای گازی و بخار نیروگاه سیکل ترکیبی نیروگاه مورد بررسی در

گزارش

2. I. Dincer, M. A. Rosen; " Exergy, Energy, Environment and Sustainable development"; Elsevier; 2007
3. J. Szargut; " Exergy Analysis"; Academia Research in Progress Thermodynamics; 2005
4. R. Kumar, S C Kaushik, A. Kumar; " Energy and Exergy Analysis of Non-reheat Thermal Power Plant"; International Conference on Energy and Environment; 2009
5. M. Fischer, O. Schuller, S. Albrecht, M.Faltenbache; " Exergy-Efficiency as Enhancement of Energy-Efficiency– an LCA Perspective"; Fraunhofer Institute Bauphyik & ; University of Stuttgart
6. T. J. Kotas; "The Exergy Method of Thermal Plant Analysis"; Krieger Publishing Company, Florida – 1995
7. E. Roth; " Why thermal power plants have a relatively low efficiency www.sealnet.org
8. Energy Resources NA; " Understanding Heat Rate Products"; Suez 2006
9. Bureau of Energy Efficiency; " Energy Efficiency in Thermal Utilities, Guide book for National Certification Examination for Energy Managers and Energy Auditors"; Vol. 4
10. P.J. Ploumen, F. J. J. G. Janssen; " Through Exergy Approach to More Efficient Processes"; Int.J. Applied Thermodynamics ; Vol.4, 2001
11. An American Society of Mechanical Engineers; "An American national Standard"; ASME PTC 22-1997; Performance Test Code on Gas Turbines "
12. Kalyan Annamalai, Ishwar Kanwar Puri, Advanced Thermodynamics Engineering
13. H. Cohen, G. F. C. Rogers, H. I. H. Saravanamuttoo; " Gas Turbine Theory"; 4th edition; 1977

14. R. C. Rosaler; " Standard Handbook of Plant Engineering"; 2nd edition;1994; McGraw Hill Book Company
15. J. M. Smith; " Introduction to Chemical Engineering Thermodynamics"; 6th edition; 2001; McGraw Hill Book Company
16. P. Grassmann, Chem. Ing. Tech., Vol. 22, No. 4, pp. 77-80(1950)
17. G. Van Wylen, R. Sonntag, "Fundamentals Of Classical Thermodynamics", 4th edition
18. An American Society of Mechanical Engineers; "An American national Standard"; ASME PTC 4-2-1997; Performance Test Code on Gas Turbine Heat Recovery Steam Generator ";
19. V. Ganapathy, ABCO Industries;" Heat Recovery Steam Generators: Understand the Basics"; Chemical Engineering Process; August 1996
20. W. M. Kays, A. L. London; " Compact Heat Exchangers"; 3rd edition; 1979; McGraw-Hill Book Company
21. J. P. Holman; " Heat Transfer"; 8th edition; 1997; McGraw-Hill Book Company



PowerEn.ir

22. Bureau of Energy Efficiency; " Energy Efficiency in Thermal Utilities, Guide book

for

National Certification Examination for Energy Managers and Energy Auditors"; Vol. 2

23. Senjel, thermodynamic

۷۵